

SuperKEKB Phase2 の入射と今後

2018.8.21

第114回Bファクトリー計画推進委員会
加速器研究施設 飯田 直子

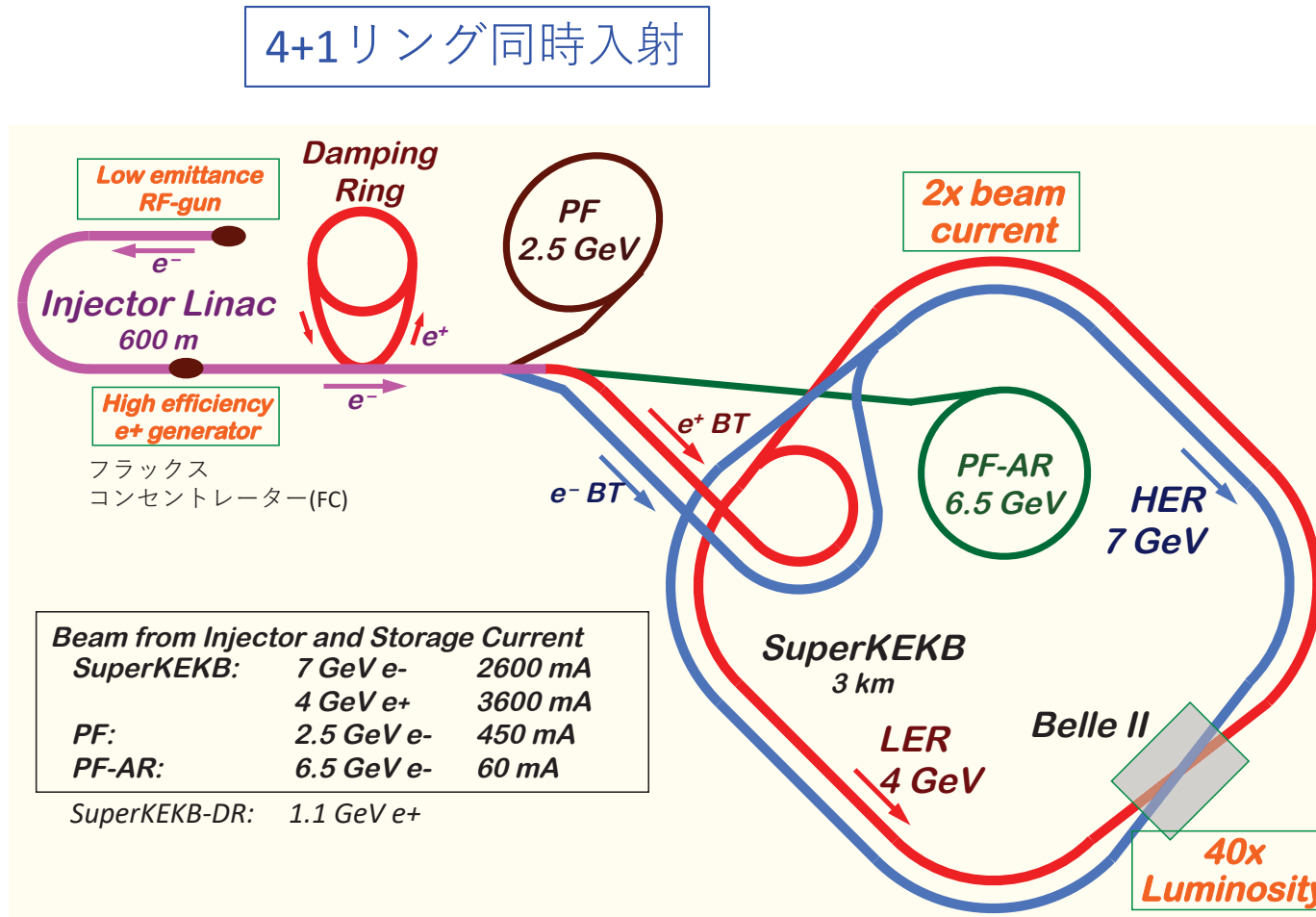
- (1) Phase2 入射器運転と今後
- (2) DR コミッショニング
- (3) SuperKEKBへの入射と今後

SuperKEKBのための入射ビームパラメタ

徐々に移行

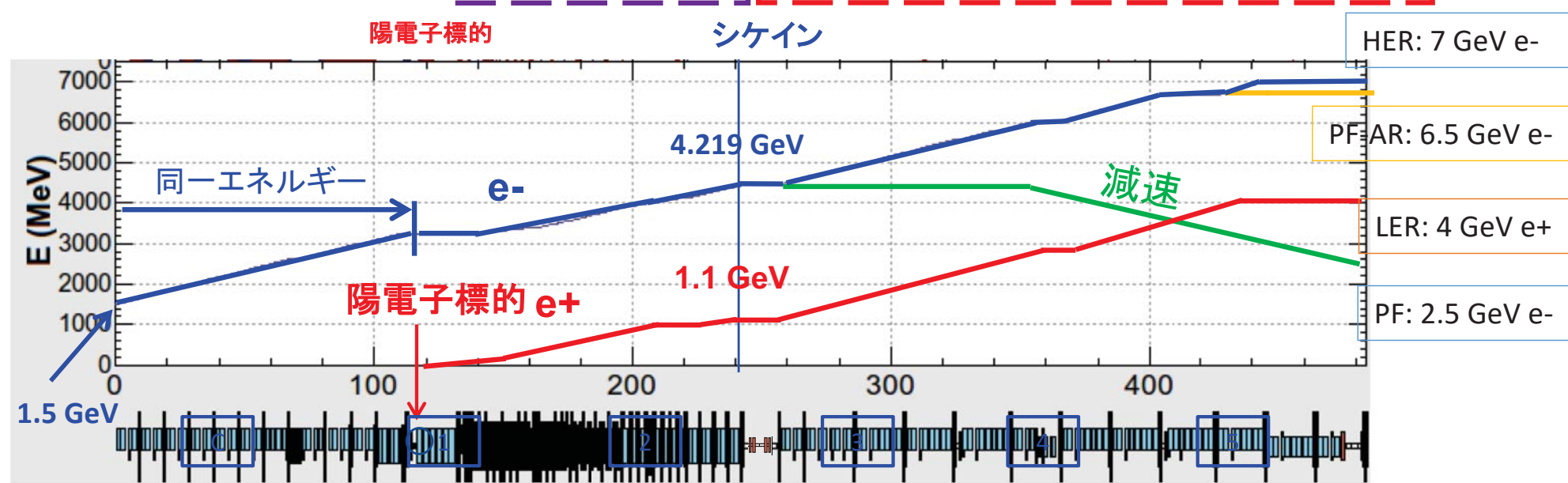
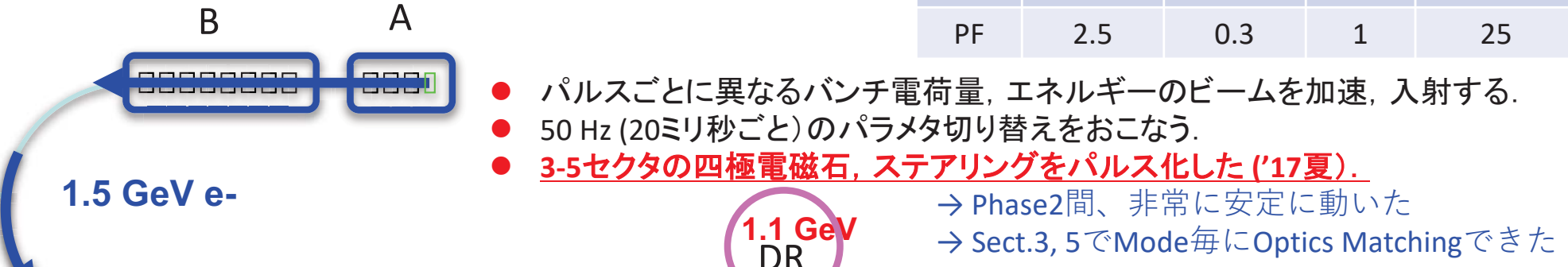
Stage	KEKB (final)		Phase-I		Phase-II		SuperKEKB (final)	
Beam	e+	e-	e+	e-	e+	e-	e+	e-
Energy	3.5 GeV	8.0 GeV	4.0 GeV	7.0 GeV	4.0 GeV	7.0 GeV	4.0 GeV	7.0 GeV
Stored current	1.6 A	1.1 A	1 A	1 A	–	–	3.6 A	2.6 A
Life time (min.)	150	200	100	100	–	–	6	6
Bunch charge (nC)	primary e- 10 → 1	1	primary e- 8 → 0.4	1	1.5	1	primary e- 10 → 4	4
Norm. Emittance ($\gamma\beta\varepsilon$) (μrad)	1400	310	1000	130	200/40 (Hor./Ver.)	150	100/15 (Hor./Ver.)	40/20 (Hor./Ver.)
Energy spread	0.125%	0.125 %	0.5%	0.5%	0.16%	0.1%	0.16%	0.07%
Bunch / Pulse	2	2	2	2	2	2	2	2
Repetition rate	50 Hz		25 Hz		25 Hz		50 Hz	
Simultaneous top-up injection	3 rings (LER, HER, PF)		No top-up		Eventually		4+1 rings (LER, HER, DR, PF, PF-AR)	

(1) Phase2 入射器運転と今後



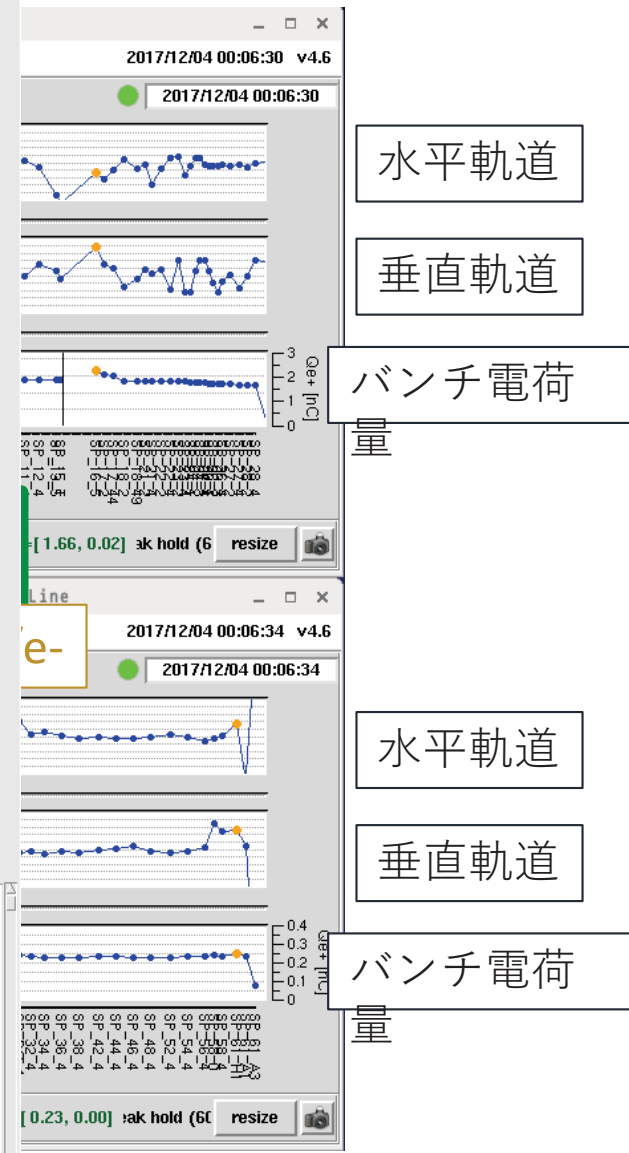
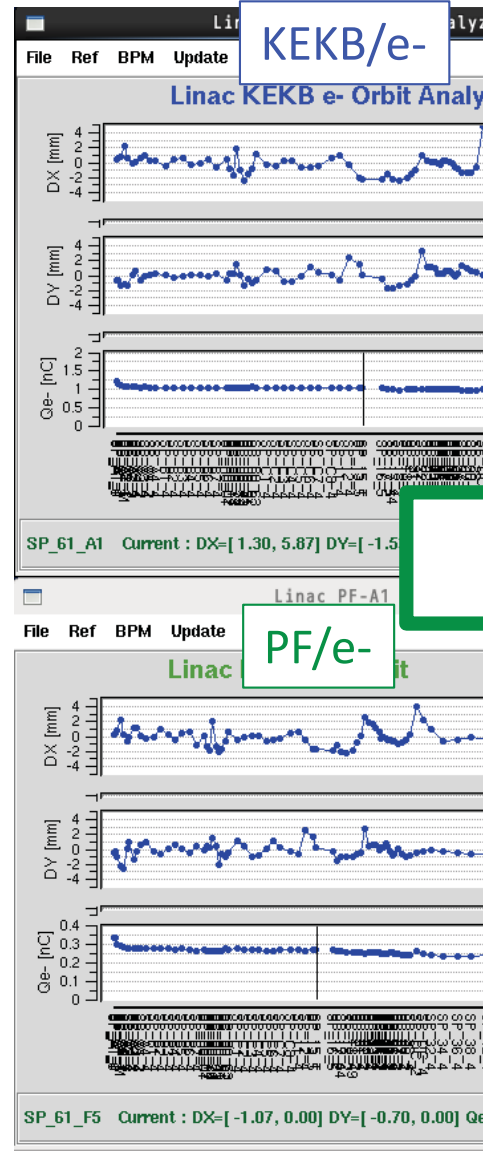
4リング同時入射時の 入射器ビーム運動形態

Ring	Energy [GeV]	Charge [nC]	Bunch 数	くり返し [Hz]
LER	4	10	2	50
HER	7	5	2	50
PF-AR	6.5	0.3	1	25
PF	2.5	0.3	1	25

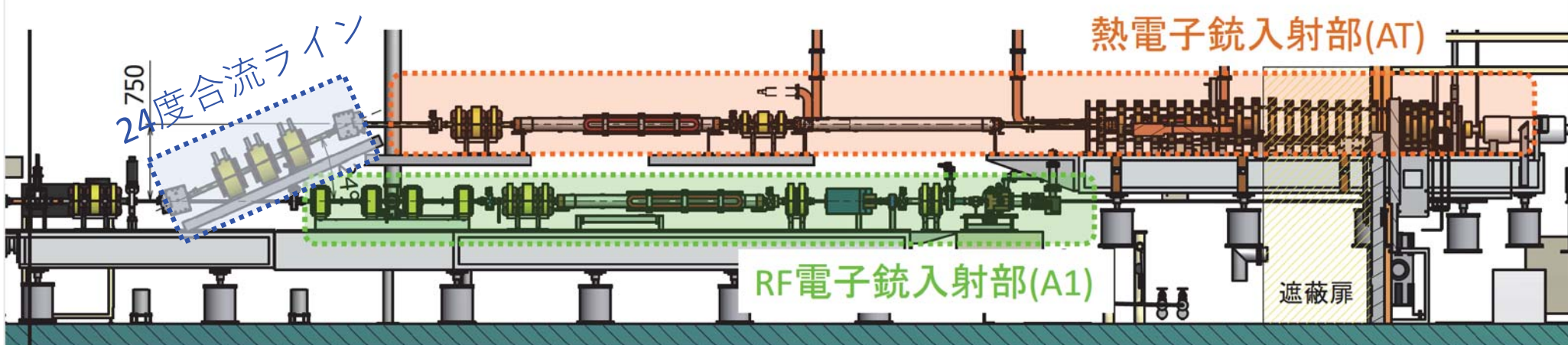


M. Satoh

熱電子銃による (パルスごと)



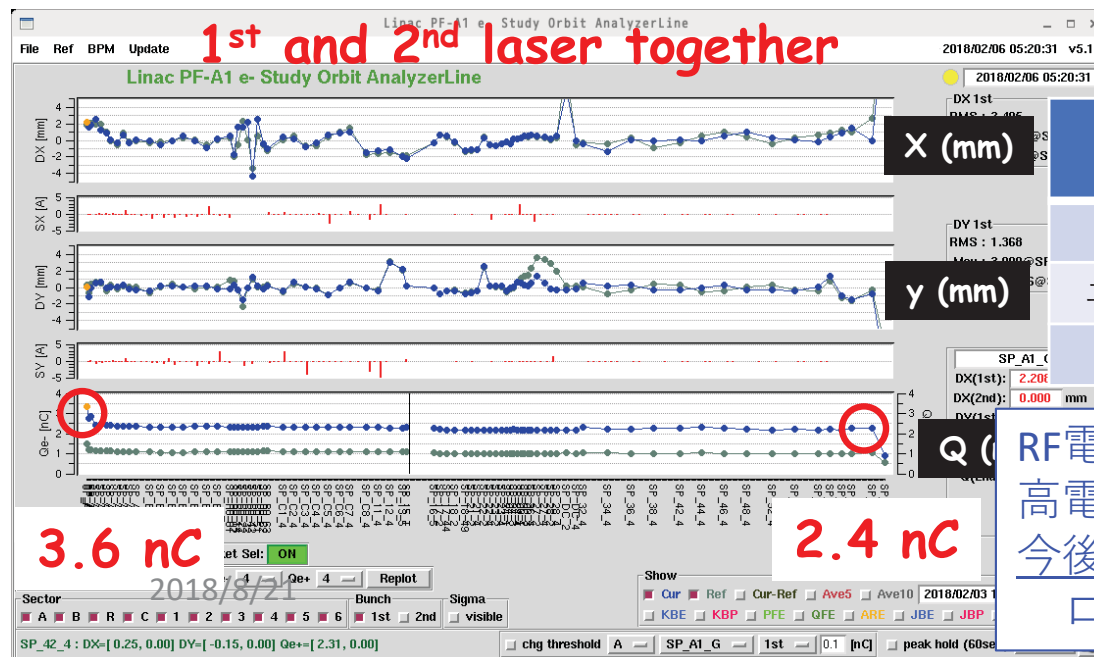
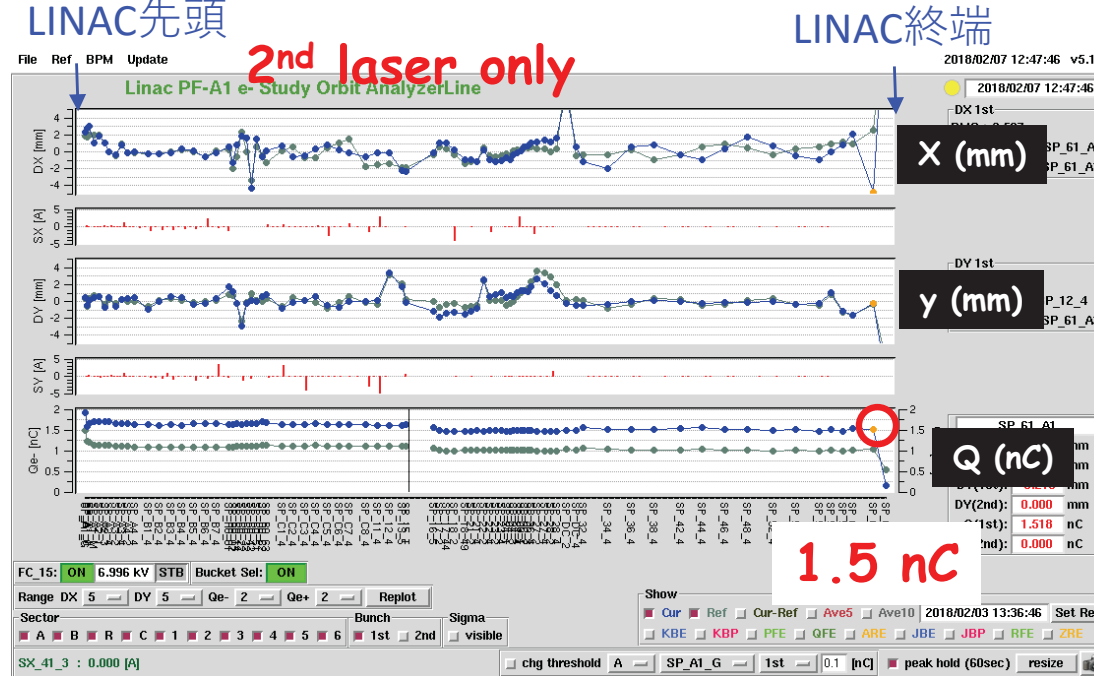
2つの電子銃 (Aセクター)



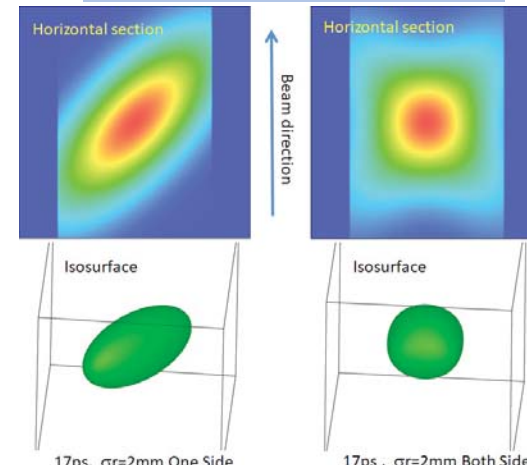
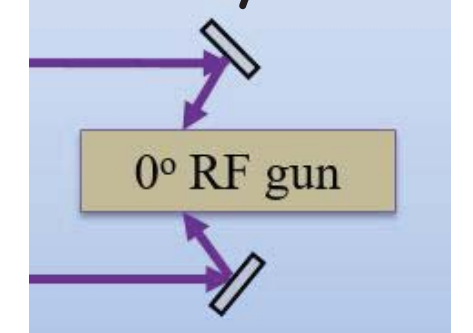
- 热电子銃
 - LER, PF, PF-AR (, HER)
 - 热电子銃
 - SHB1(114MHz)
 - SHB2(571MHz)
 - Pre-buncher
 - Buncher
 - 加速管(2mx2本)
- RF電子銃
 - HER
 - 0-deg QTW RF gun
 - 90-deg CDS RF gun
 - Bunch Compress System(BCS)
 - 加速管(2mx1本)
- 24度合流ライン
 - BendのChamber発熱により、DC Bend (5~10秒切り替え) に戻した。
30秒切替で運転 (安全システムによる30秒待ち)。
 - Phase3からPulse-to-pulse運転予定

RF電子銃運転

LINAC先頭



- Irradiated by two lasers

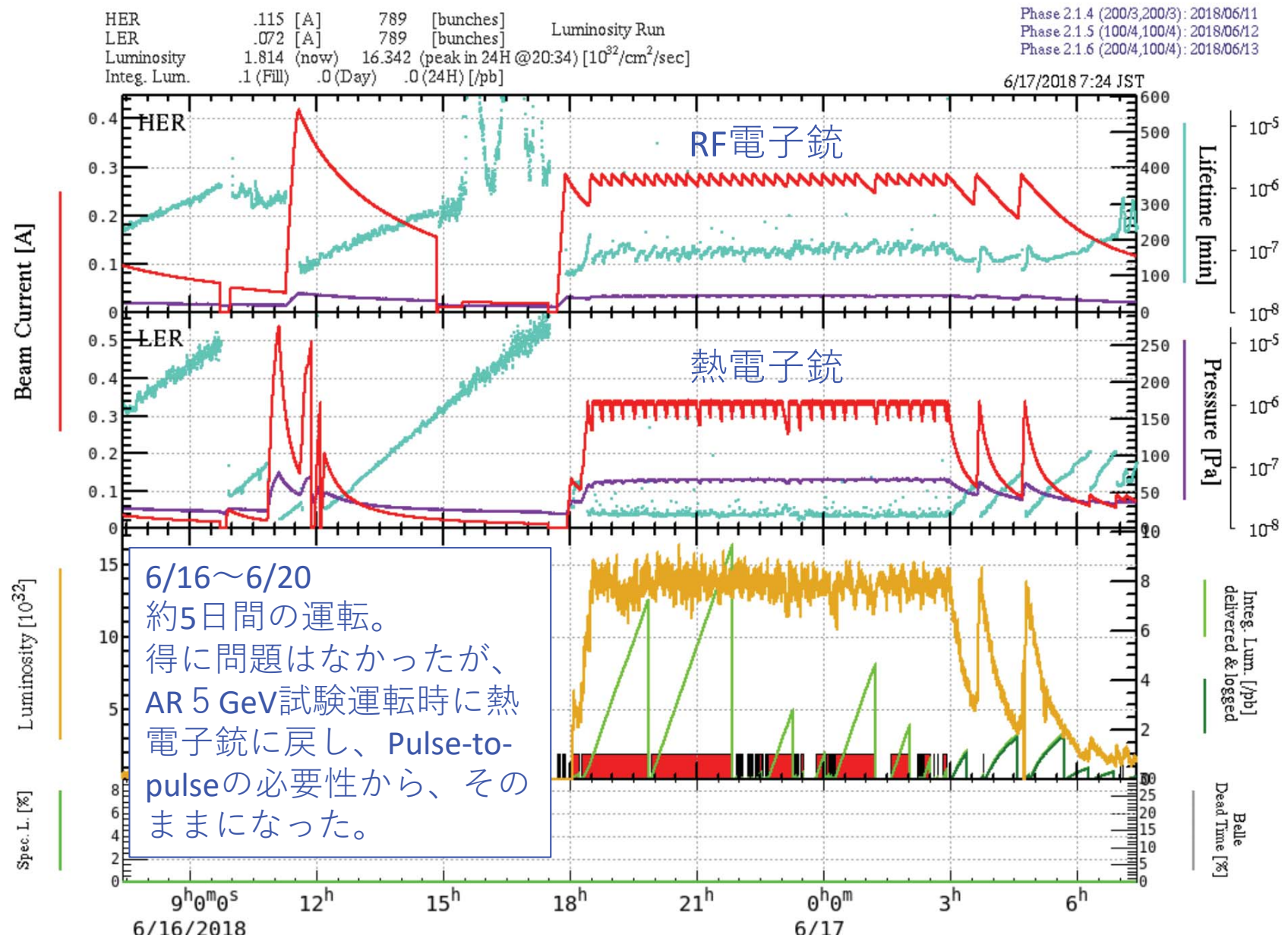


	LINAC B Sect.	LINAC 終端	Phase2の要求値	最終要求値
バンチ電荷量 [nC]	2.4	2.4	1.0	4.0
エミッタنس $\gamma \epsilon_x$ [μm]	25.0	40.3	150	40
$(1.2\text{nC}) \gamma \epsilon_y$ [μm]	18.6	92.2	150	20

RF電子銃としてはかなり要求を満たしているが、高電荷量の輸送が難しい。
今後のStudy:

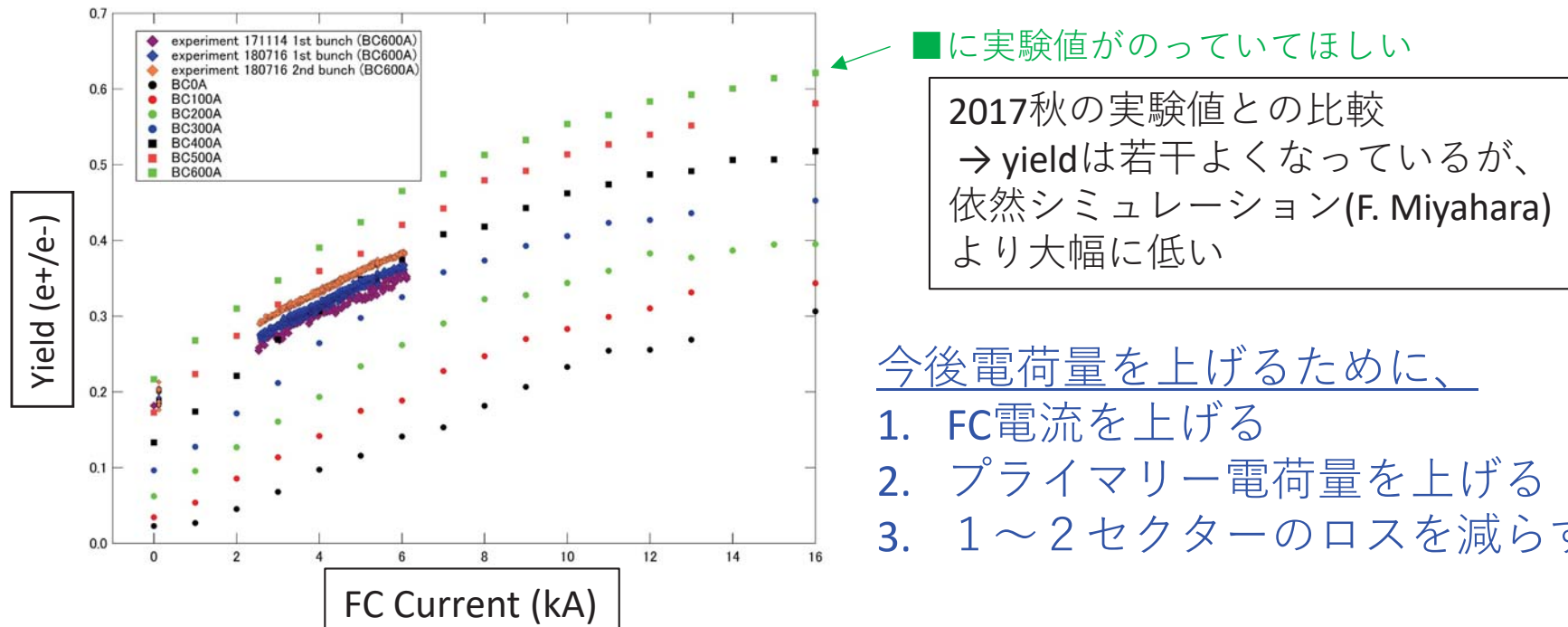
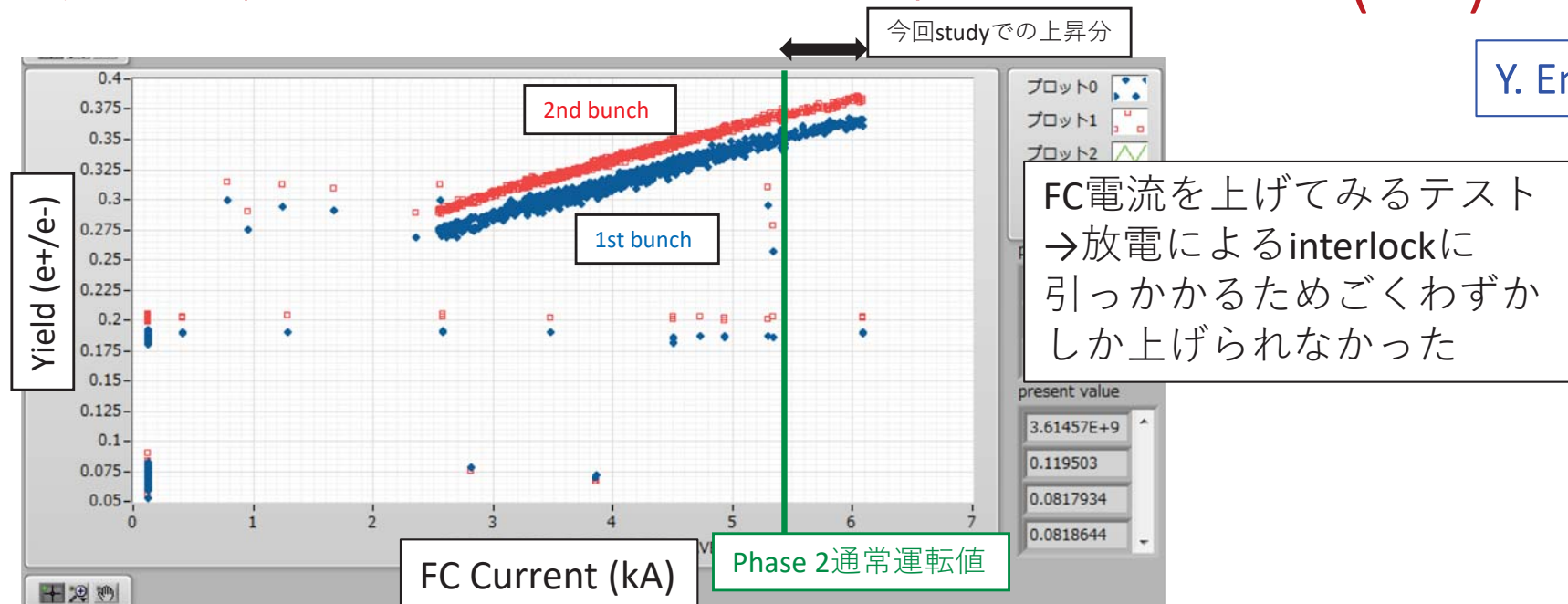
ロス、エミッタанс保存、エネルギー広がり ...

RF電子銃によるHER入射



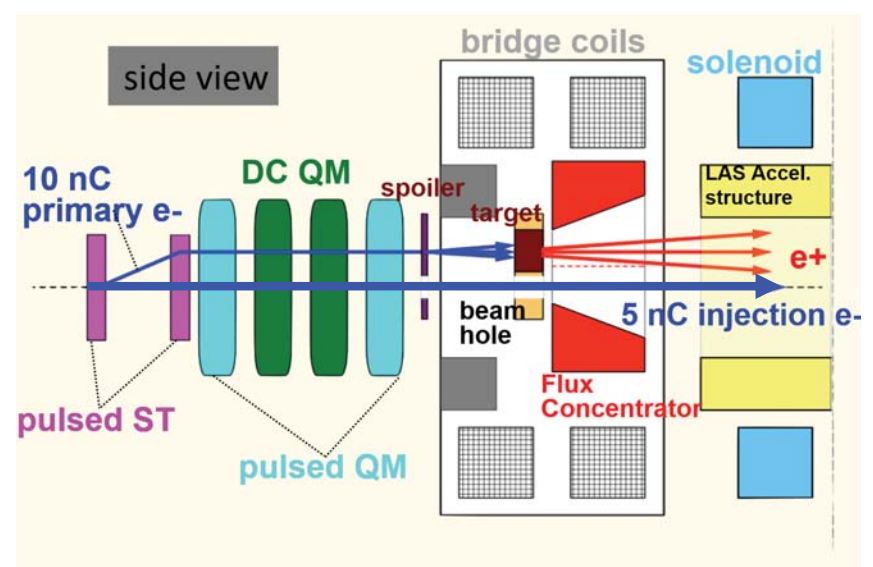
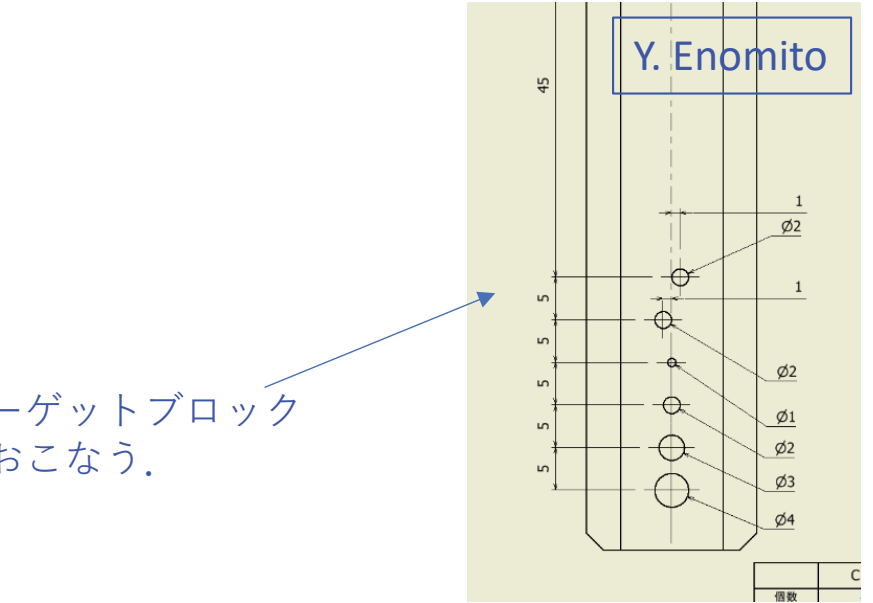
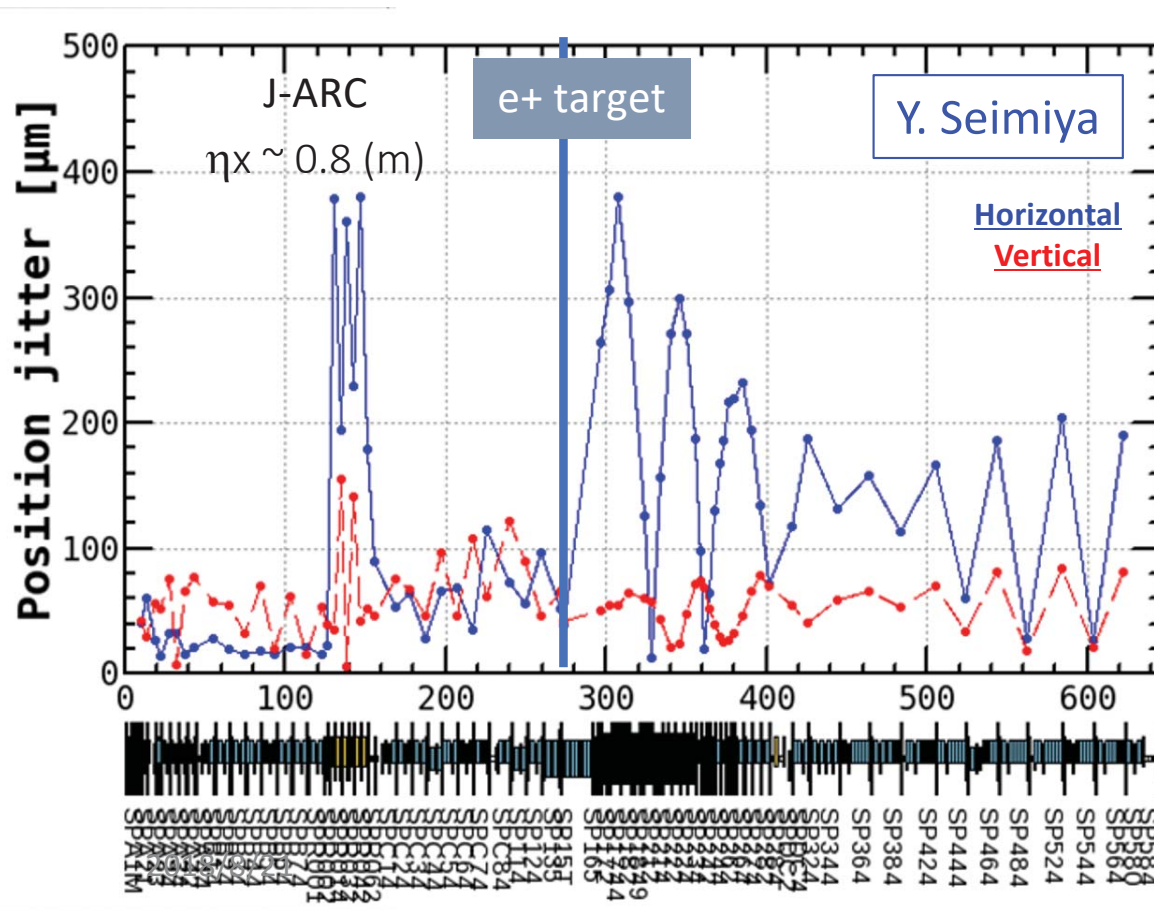
陽電子収量

フラックス・コンセントレーター(FC)

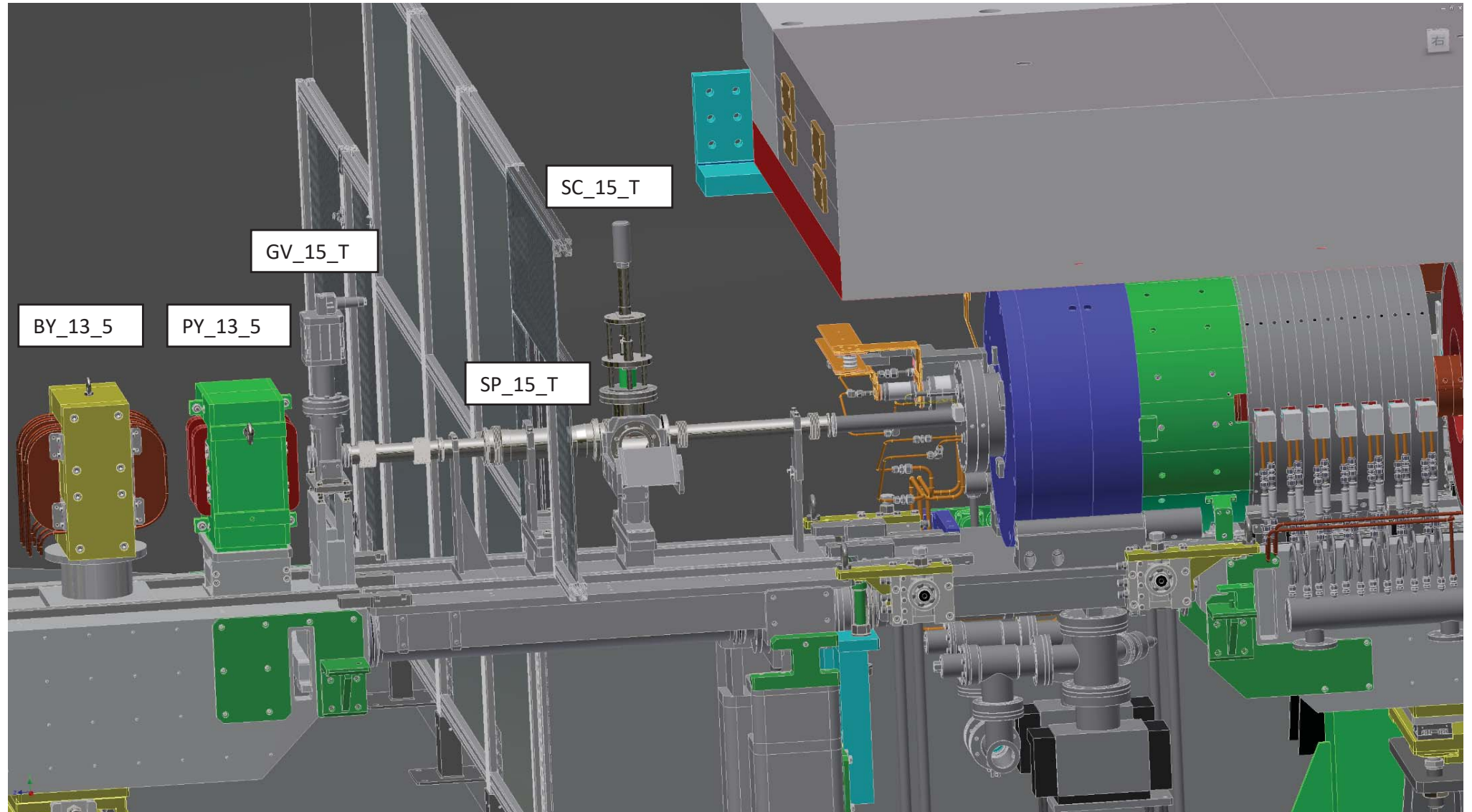


ビーム位置ジッタ

- 孔付き陽電子標的: $\Phi 2\text{ mm}$.
通常電子ビームはこの孔を通過する.
- 小さな孔がビーム位置ジッタの原因になる可能性?
- 秋のマシンスタディ:(SuperKEKBの運転は無い)
 - 夏期保守期間中に陽電子生成標的を撤去し, ダミーターゲットブロック(複数の異なる径の孔)を設置し, ビームスタディをおこなう.
 - 冬期保守期間中に, 陽電子生成標的を再設置する.



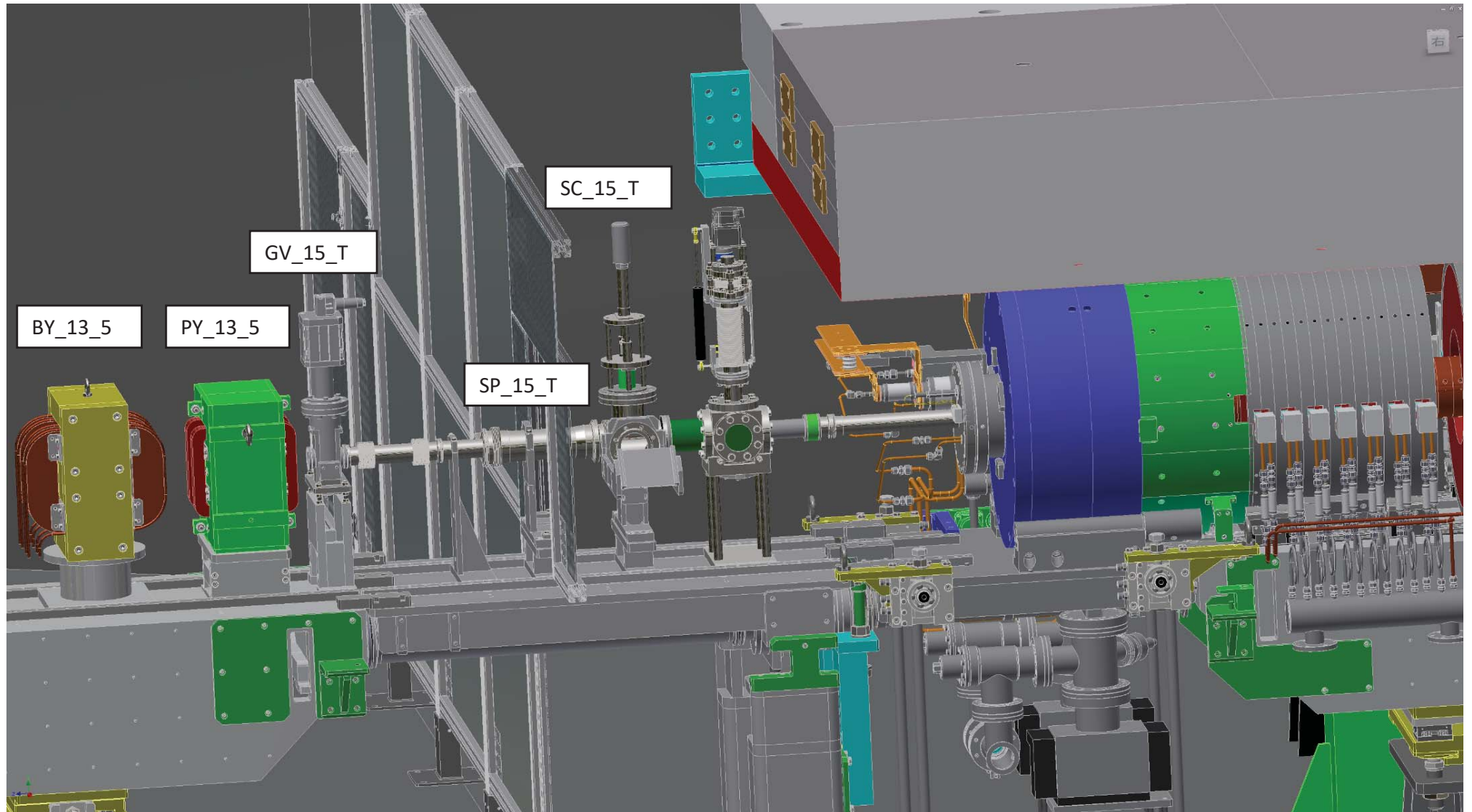
FCを撤去して



2018/8/21

Y. Enomoto
(LCG meeting, '18/7/2)¹⁰

ターゲットブロックを設置する



2018/8/21

Y. Enomoto
(LCG meeting, '18/7/2)¹¹

夏期保守期間中の主な作業

- 各種点検・保守作業, 老朽化対策
 - 不要電源, 制御系, 配線, ケーブル撤去
- クライストロン
 - KL_13設置, KL_44B立ち上げ
- パルス電磁石の追加
 - 追加にともない, BPMの設置 (DC四極より径が小さい)
- 加速管交換
 - 11ユニット, 13ユニット, 51ユニット
- SY3, J-ARC大型電源制御更新
- SHB (114 MHz, 571 MHz)アンプの更新
- アラインメント
 - エミッタンス増大対策

秋の運転

- 入射器
 - 10/22～12/21の 2 か月間
 - 10/22 (月) 立ち上げ, 安全自主点検, RFコンディショニング開始, ビーム調整
 - 水曜日マシンスタディ5日間: 11/14, 11/21, 11/28, 12/5, 12/12
 - 水曜以外は、Photon FactoryのTop-up運転
 - 50 Hz試験: 12/19 (水) 9:00 – 12/21 (金) 9:00
- PF/低速陽電子
 - 11/9 (金) 立ち上げ ~ 12/19 (水) 運転停止
- PF-AR
 - 11/16 (金) 立ち上げ ~ 12/19 (水) 運転停止

(2) DR コミッショニング

DR コミッショニング

0. DR (2017.2 菊池氏)

1. DR Complex

- Positron Damping Ring(**DR**)
- Linac To Ring(**LTR**) : DRへの入射路
- Ring To Linac(**RTL**) : DRからの出射路

2. LTRのコミッショニング

- (2018.01 杉本氏)

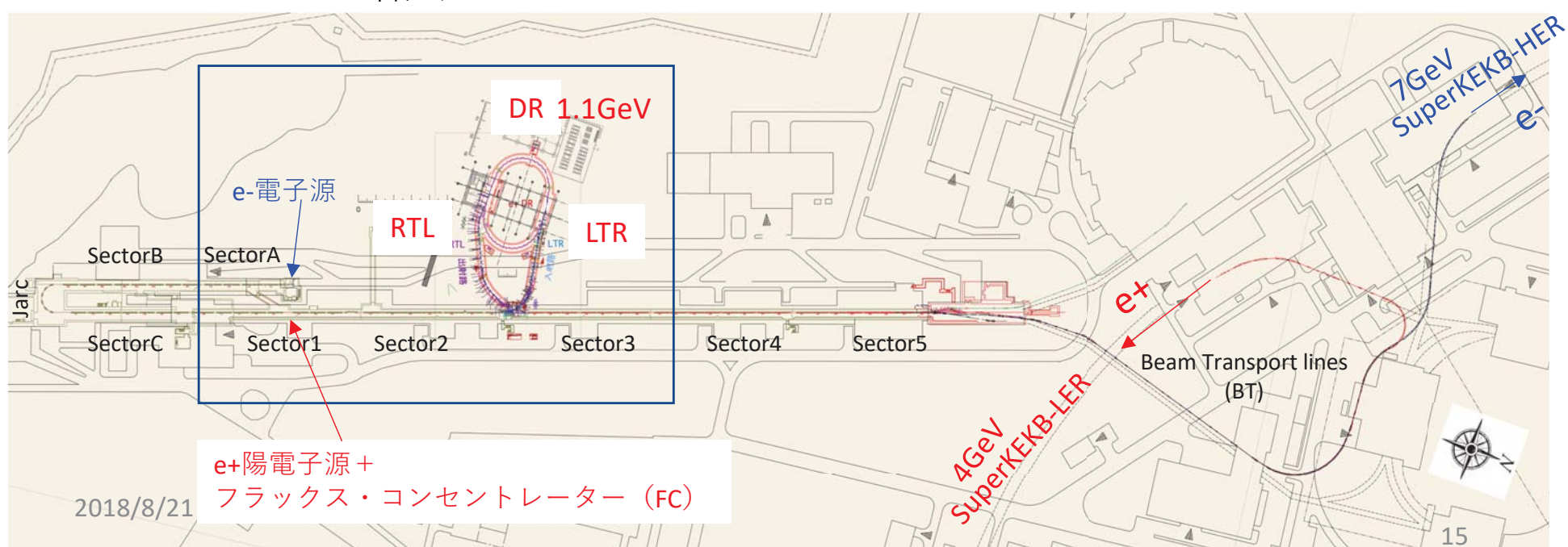
3. DR のコミッショニング

4. RTLのコミッショニング

5. エミッタンス増大

SuperKEKB-LERから e+ 入射ビームへの要求値

	Phase 2	Phase3 -
	2018年	2019年～
$\gamma \epsilon_x [\mu\text{m}]$	< 200	< 100
$\gamma \epsilon_y [\mu\text{m}]$	< 40	< 15
$\sigma \delta [\%]$	0.16	0.1
電荷量 [nC]	1.5	4.0



1. DR Complex

1. DR complex

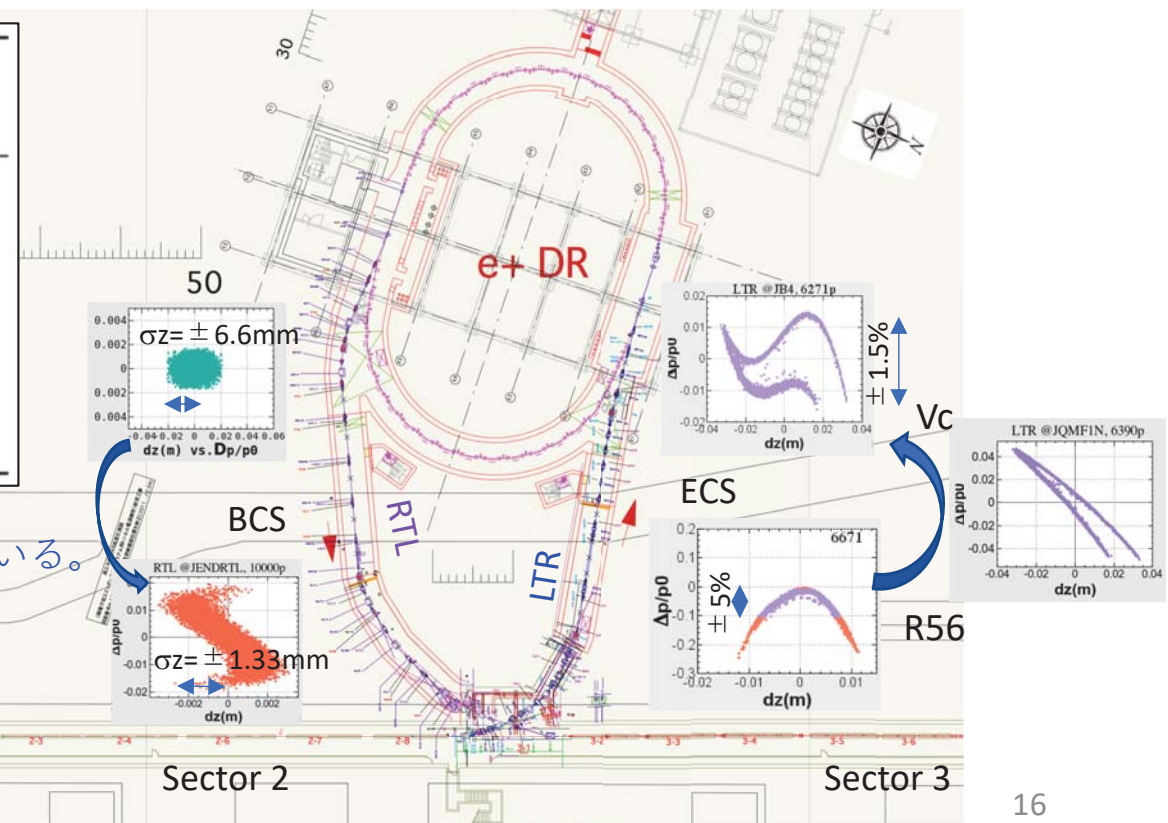
- **LTR:** 入射路
 - フラックスコンセントレーター(FC)からの陽電子は進行方向に巨大な広がりがある。
ロスに注意！
 - DRのエネルギーアクセプタンス1.5%以内に納めるため、LTRでは入射ビームのエネルギー広がりを小さくしなければならない。→ Energy Compression System(ECS)
 - $R_{56} = -0.6 \text{ m}$, $V_c = 41 \text{ MV}$
- **RTL:** 出射路
 - DRで小さくなったエミッタンスを増大させずに、下流まで輸送する。
 - DRからのバンチ長は6.6mmと長いので、LINACのS-bandに乗せるために短くしなければならない。→ Bunch Compression System(BSC)
 - $R_{56} = -1.05 \text{ m}$, $V_c = 21.5 \text{ MV}$

Parameters	ECSin =DRin	ECSout =DRout	BCSin =DRin	BCSout =DRout
$\gamma\varepsilon_x [\mu\text{m}]$	2800	64.3		
$\gamma\varepsilon_y [\mu\text{m}]$	2600	3.2		
$\sigma_z [\text{mm}]$	$\pm 8^*$	$\pm 30^*$	6.6	1.3
$\sigma_\delta [\%]$	$\pm 5^*$	$\pm 1.5^*$	0.055	0.8
$R_{56} [\text{m}]$	-0.61			-1.05
$V_c [\text{MV}]$	41	* Full width		21.5

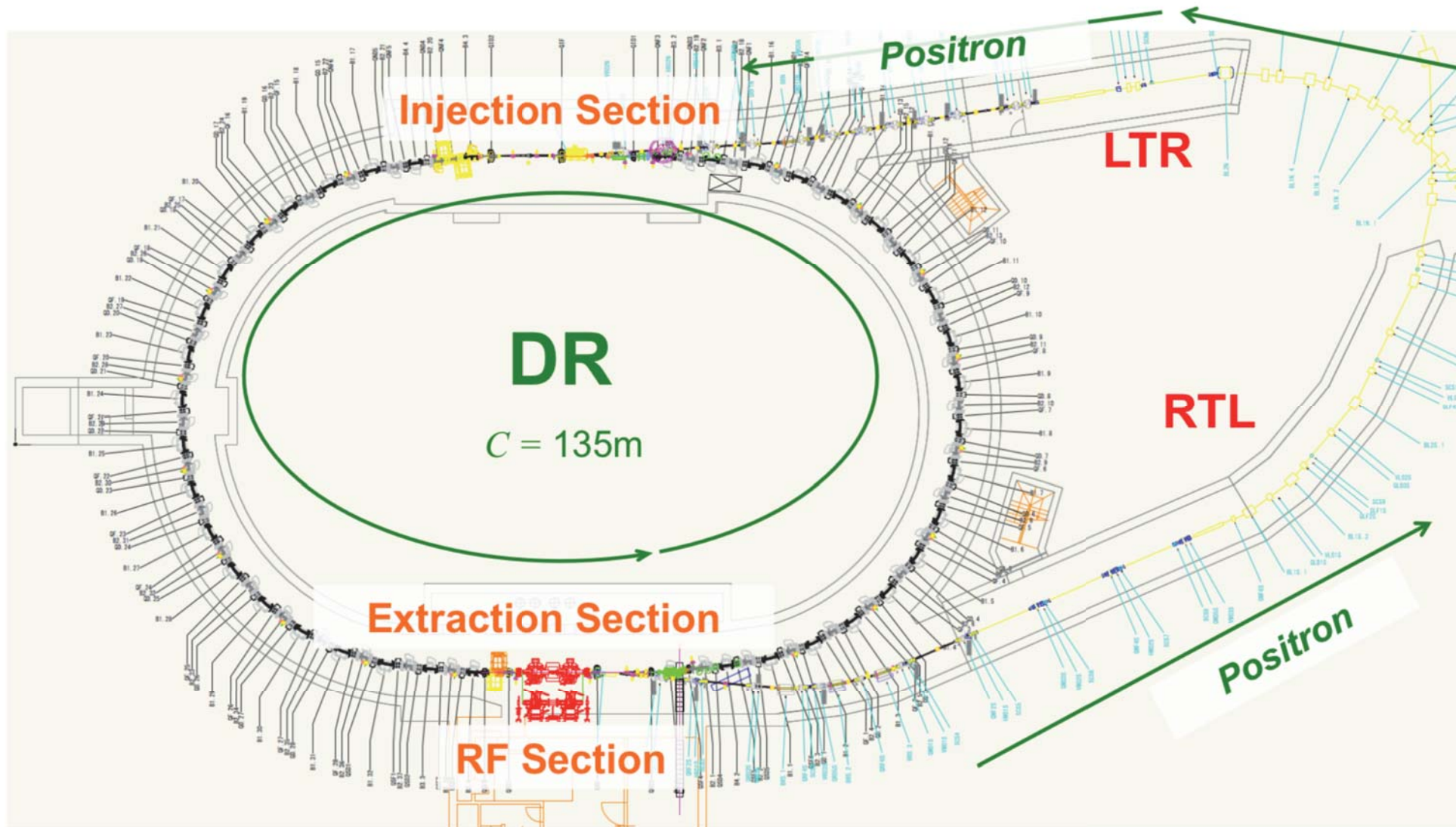
エネルギー広がりやバンチ長はECSやBCSのS-bandに比べて大きいため、サイン形が見えている。

2018/8/21 Sector 1

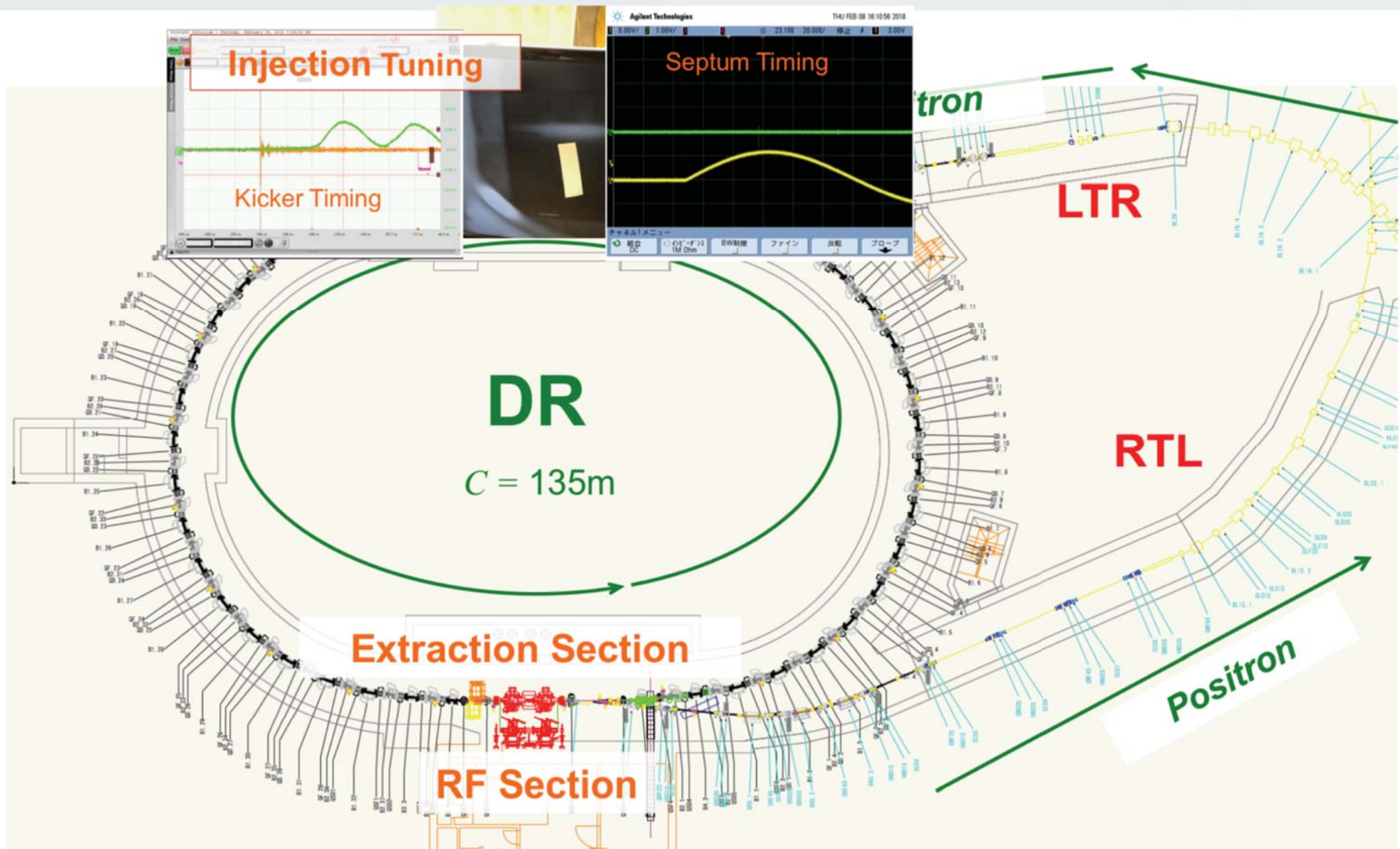
陽電子ターゲット+FC



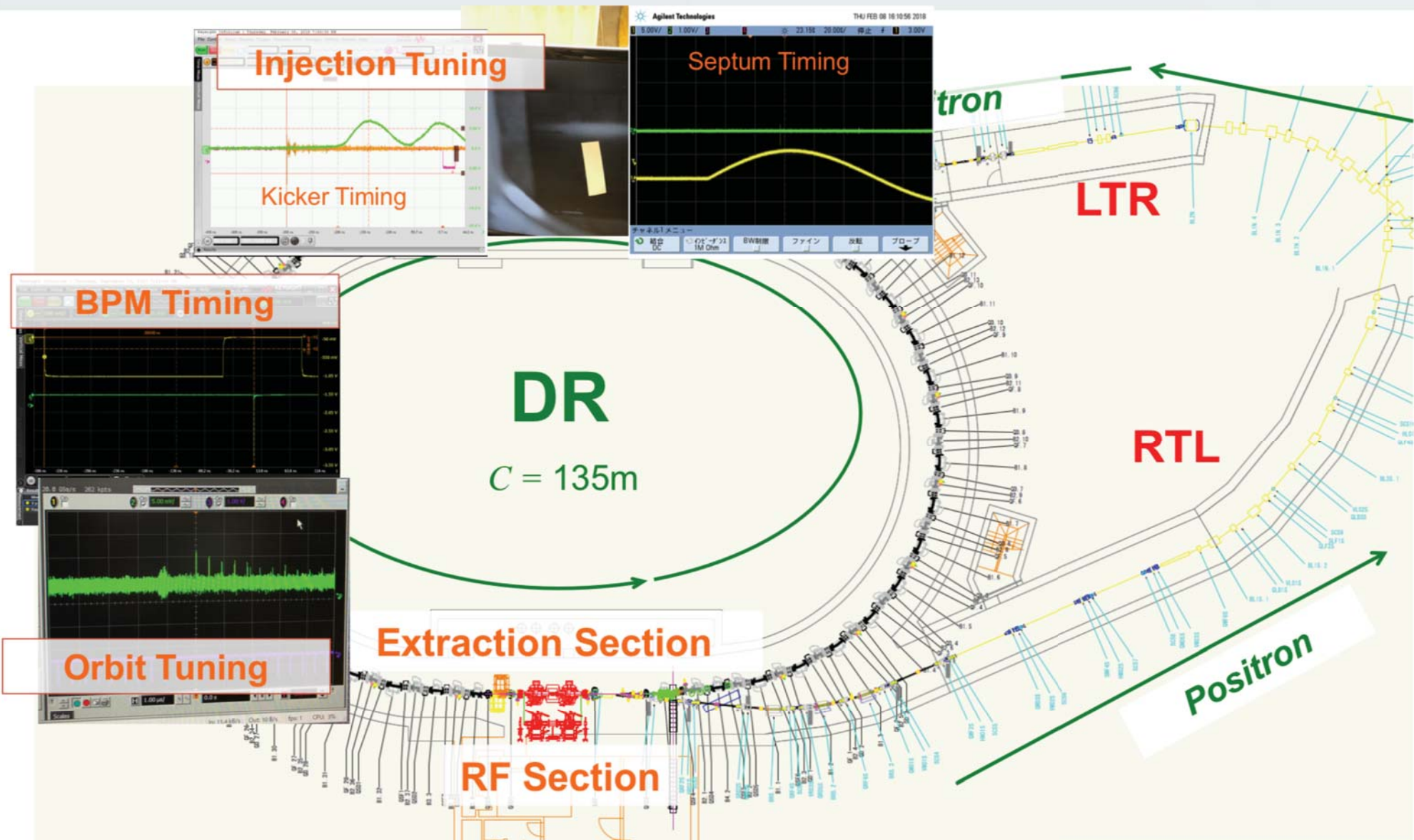
The First 3 Days



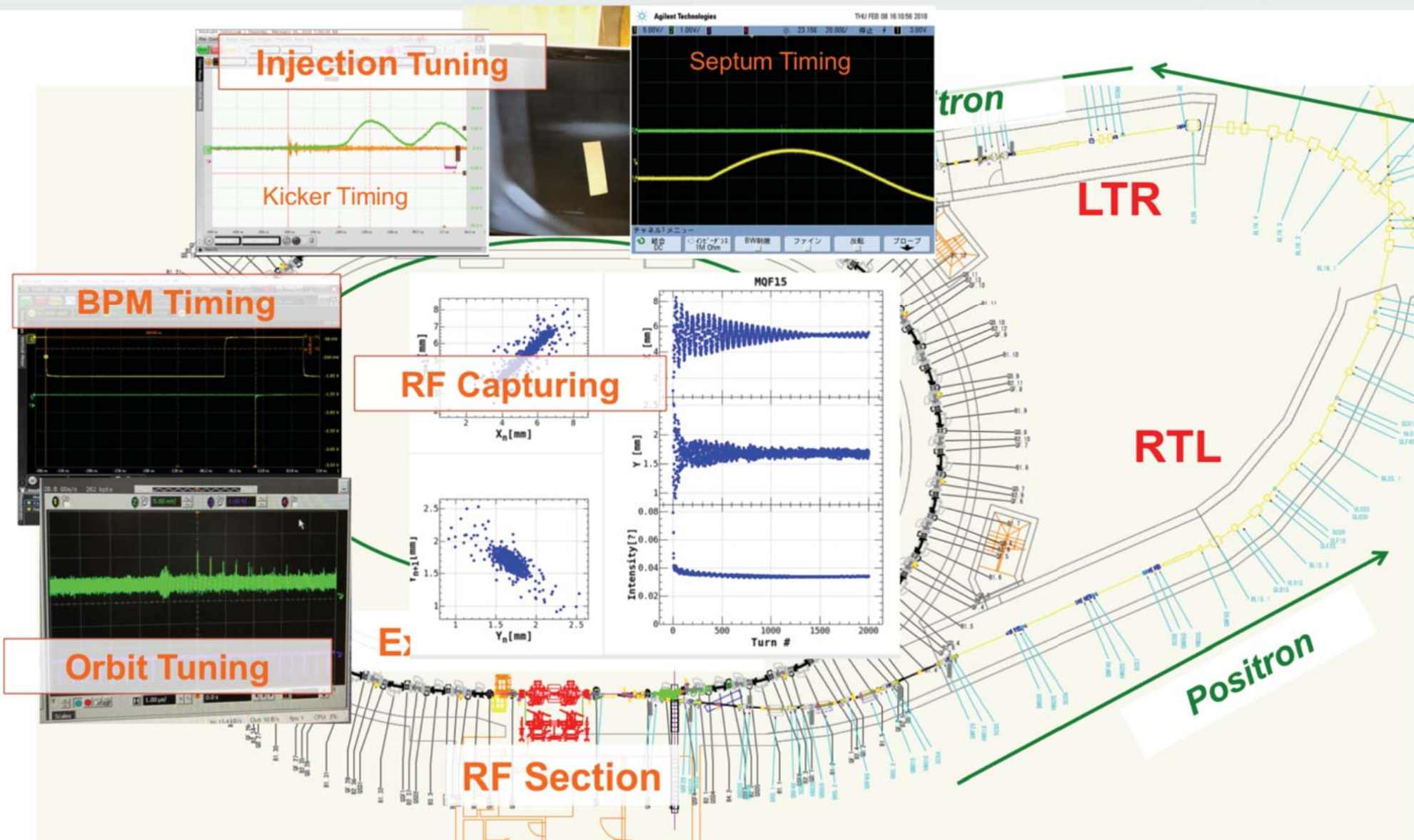
The First 3 Days



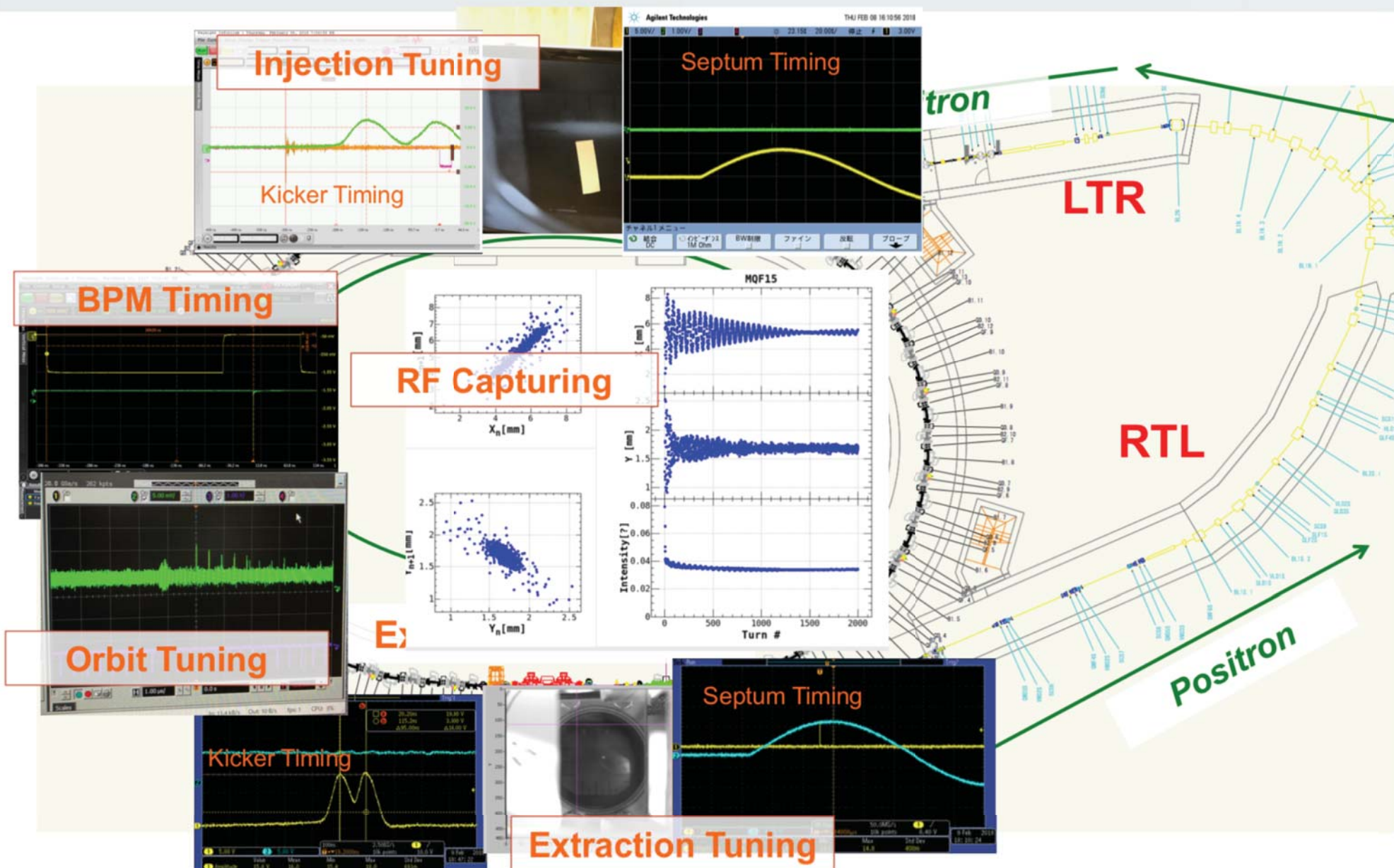
The First 3 Days



The First 3 Days

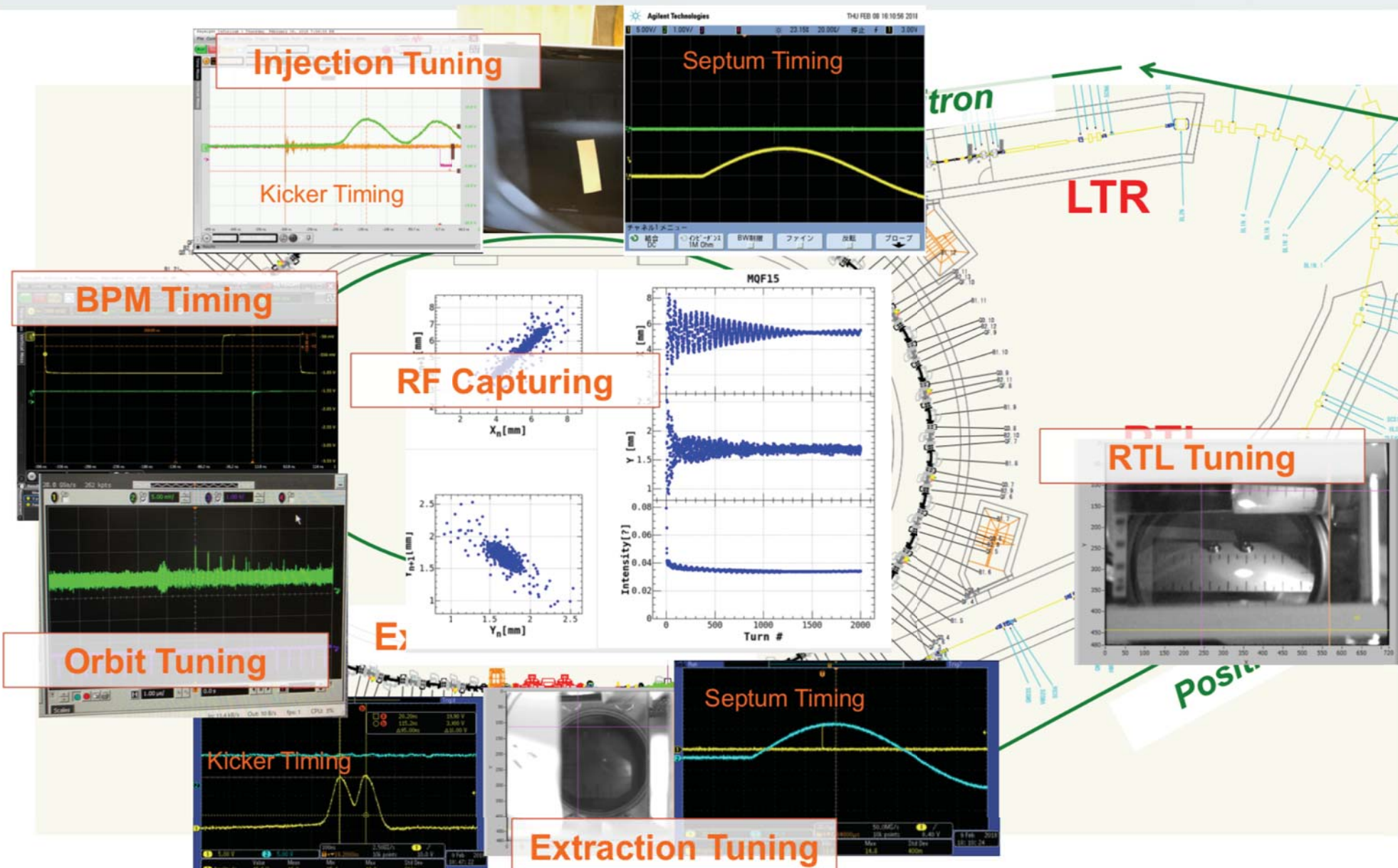


The First 3 Days

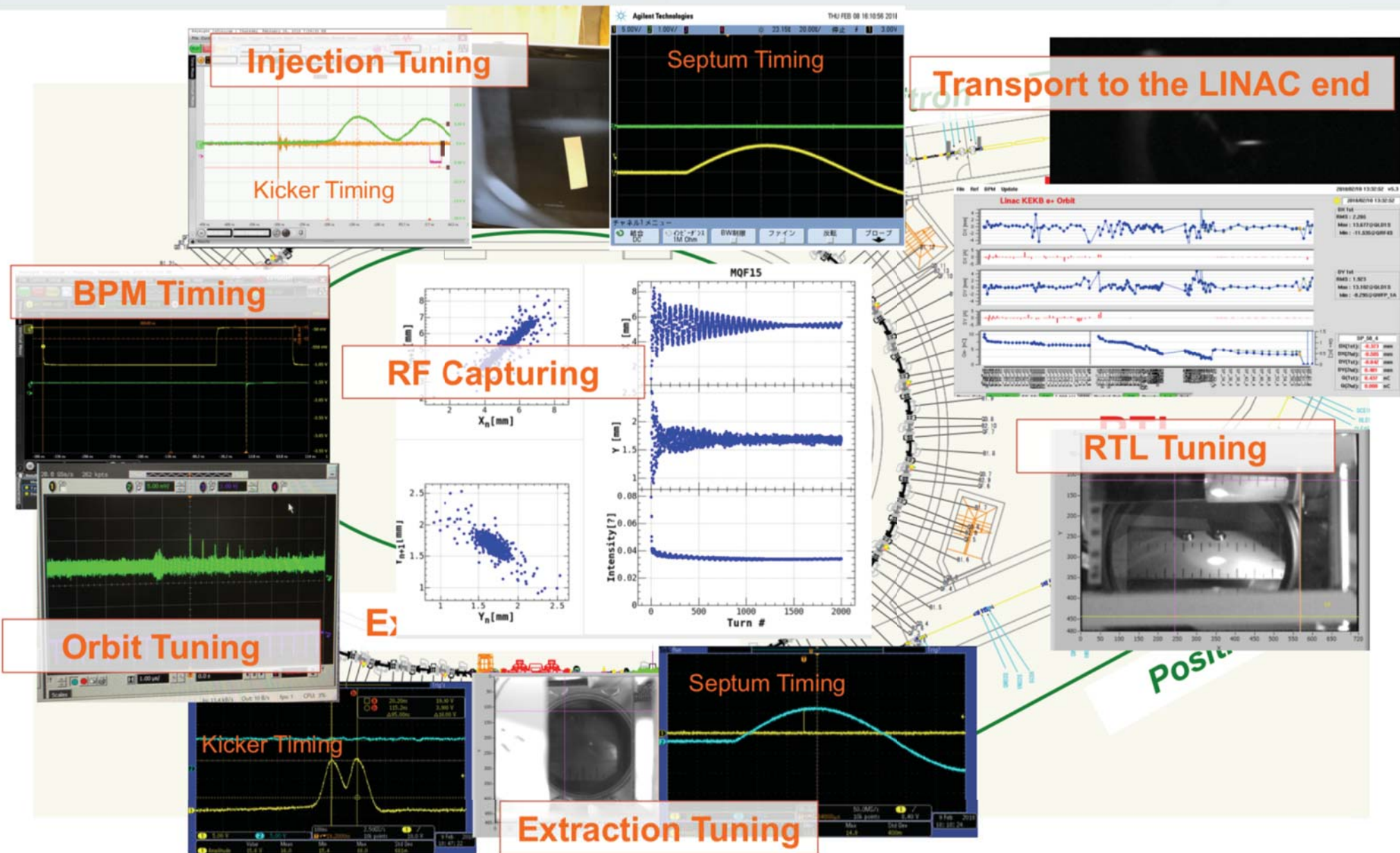


2018/8/21

The First 3 Days

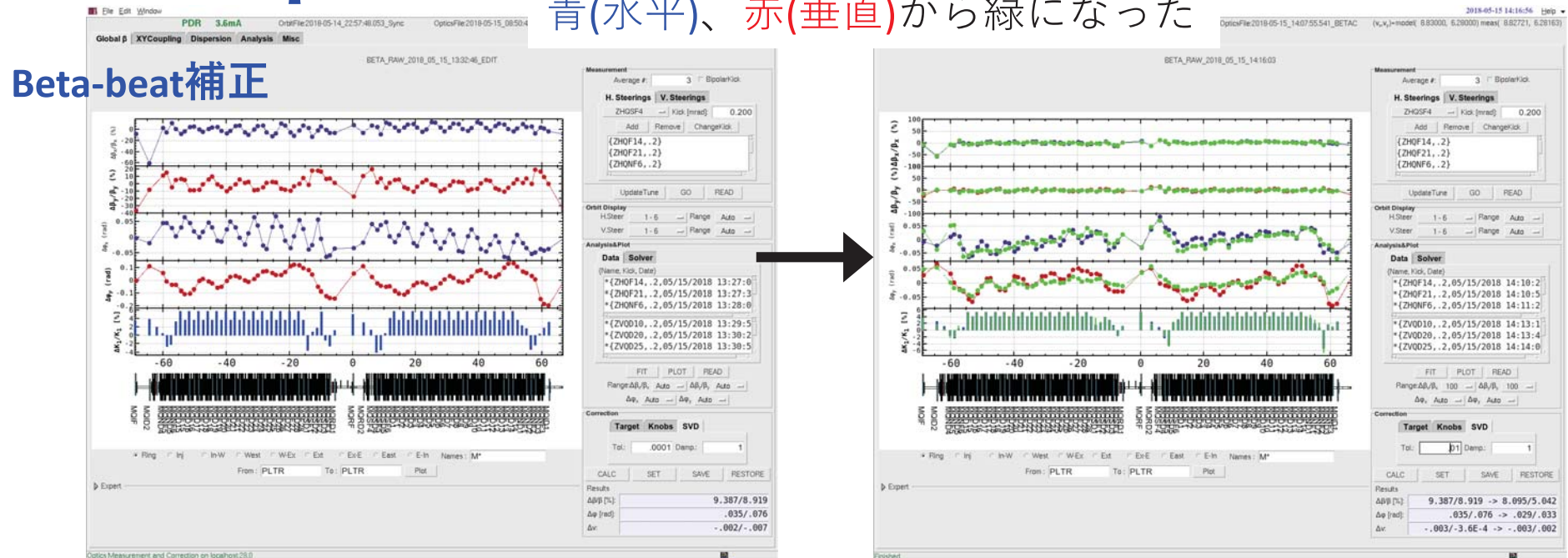


The First 3 Days



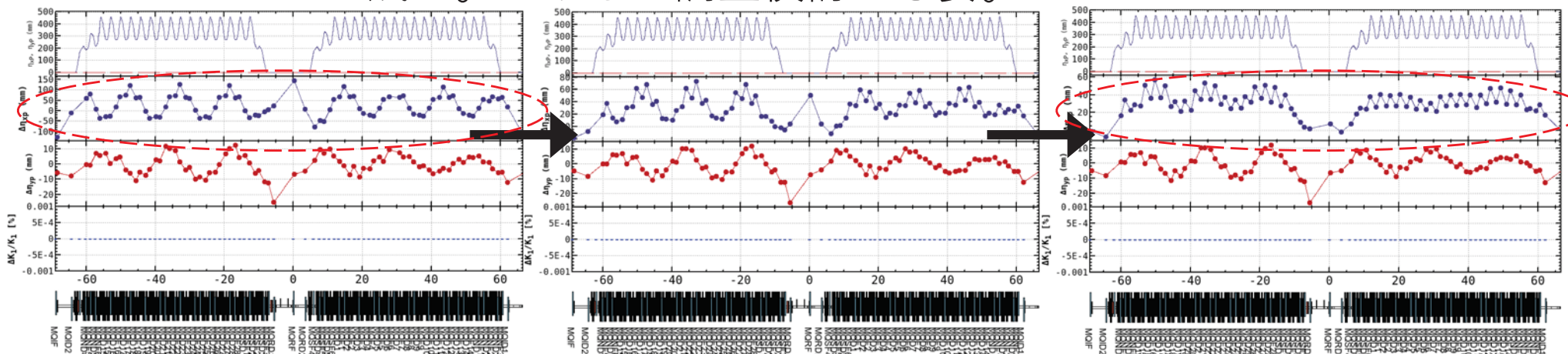
2018/8/21

DR Optics



水平Dispersion補正

Beta-beat補正後に3回補正したが徐々にモデルの水平分散を反映したパターンが残る。さらなる調査検討が必要。



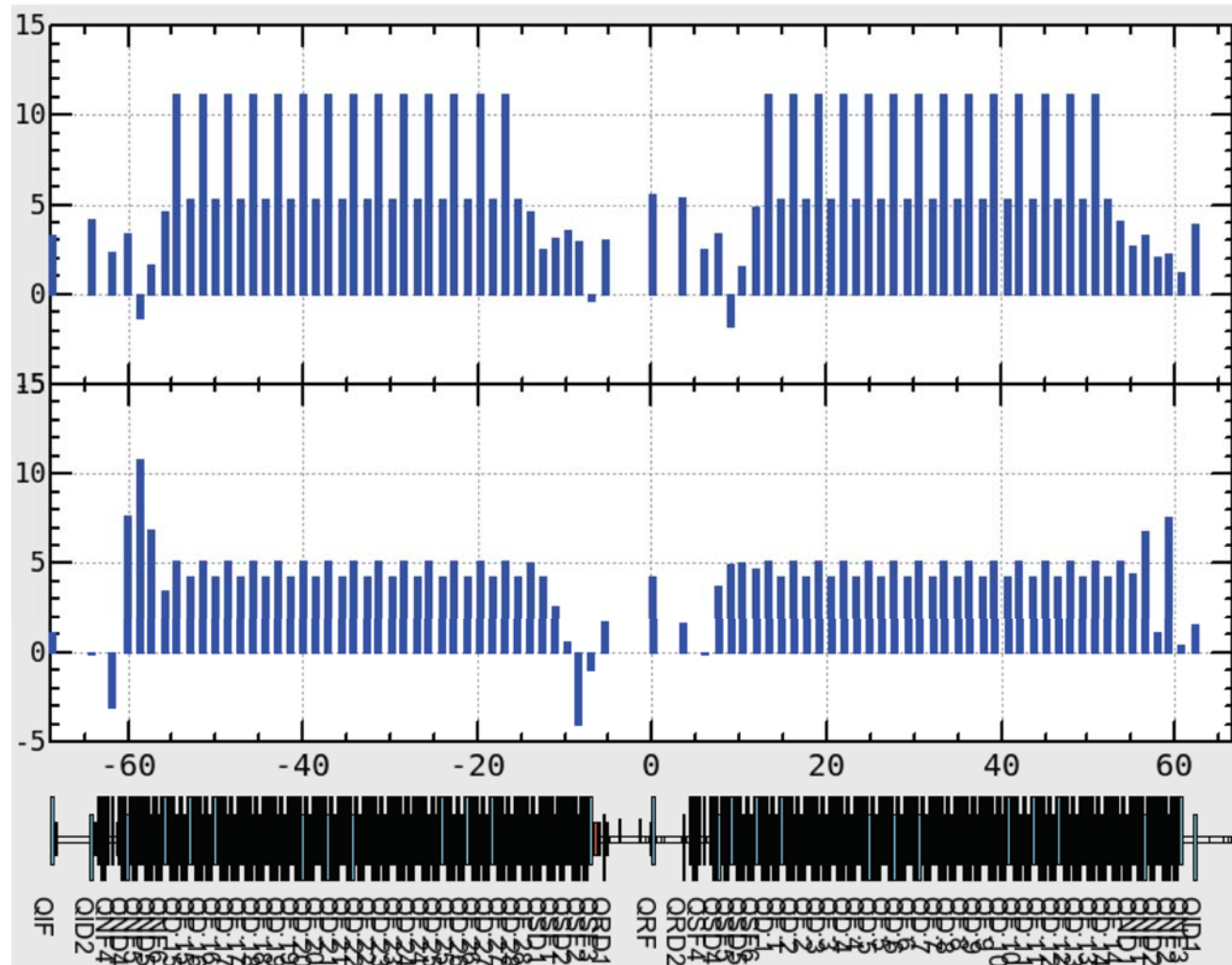
DR Correction factor for Quadrupole Magnet

H. Sugimoto

レビューでの指摘を受けてDRのモデルラティスを修正した。
これによりQFとQDの補正係数のアンバランスは大きく改善した。

OLD Model Lattice

$\Delta K_1 / K_1 [\%]$



NEW Model Lattice

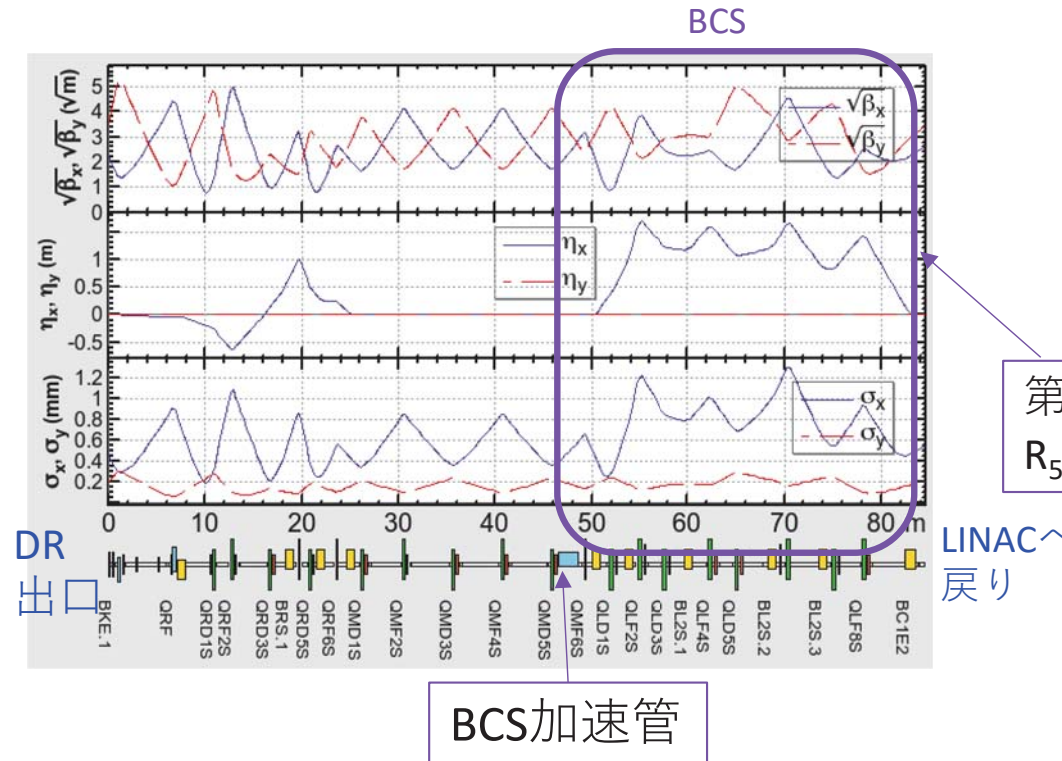
$\Delta K_1 / K_1 [\%]$

11%から5%になったが、
原因は検討中

要ビームサイズ測定
→ エミッタنس測定

低エミッタンスを保持して輸送

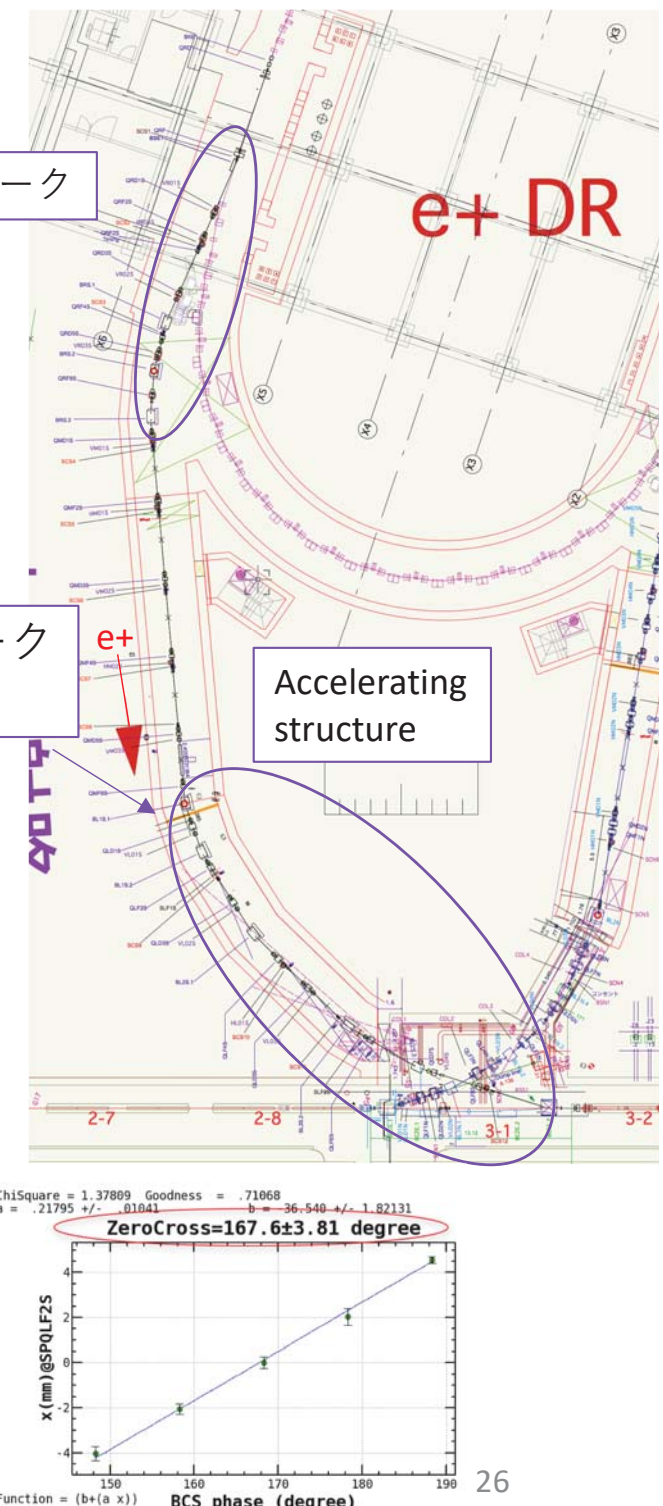
RTL 調整



リングからのビームはきれいなガウシアン

1. 軌道調整は、BCS加速管をStand-byにして行う
2. BCS加速管のゼロクロスを測定。
3. 0か、πかは、LINAC下流の水平Dispersionのある場所で判定。

2018/8/21



RTLアークのDispersion補正

低エミッタンスの保持には、各アークでDispersionが閉じてないといけない。

	< η_x > [m]		< η_y > [m]		QuadのFudge Factor
Correction	Before	After	Before	After	[%]
RTL第2アーク	0.079	0.019	0.0094	0.0077	-4.5
RTL第1アーク	1.05	0.09	0.02	0.01	-8.2

要検討

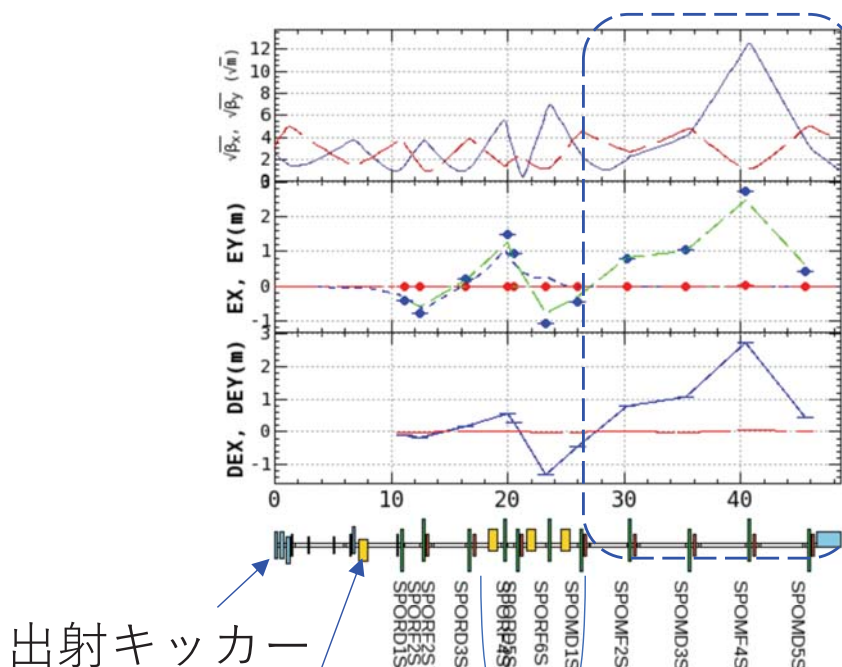
例：RTL第1アーク

補正前

補正後

Y. Seimiya

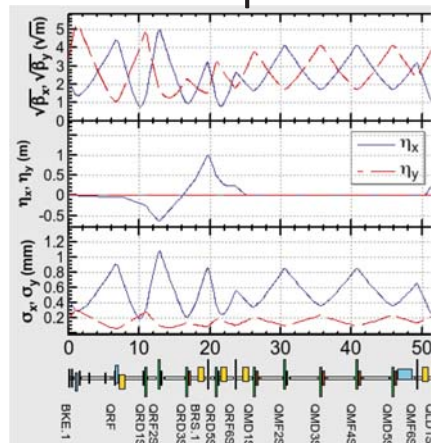
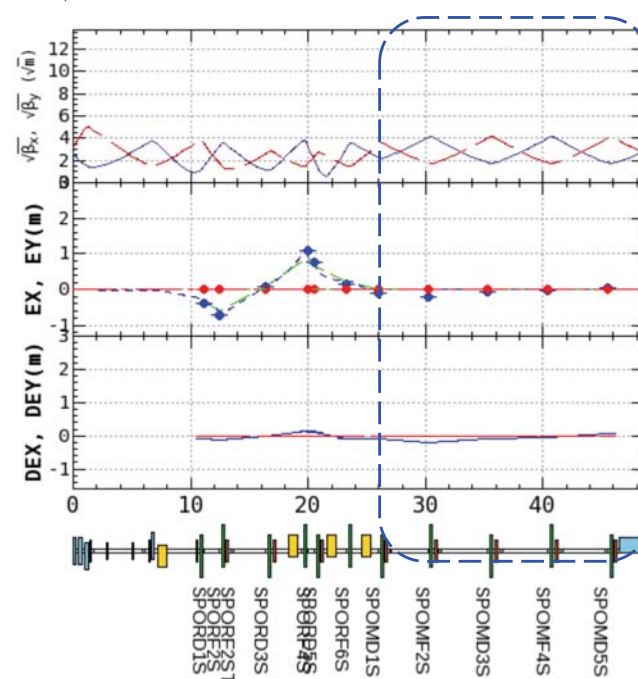
RTL Optics



出射キッカ

出射セプタム

DC Bends



DRのエネルギーを変える代わりに、Bend、Quadの強さを一斉に変えた。
キッカ、セプタムについてはResponse測定を行った。

5. エミッタス増大

ワイヤースキャナー(WS)でエミッタスを測定

- Dispersion補正の効果

0.7 [nC]	Sector 3のwsによる測定値			DR(Optics Calculation)
	補正前	第2 アーク 補正後	第1 アーク 補正後	
$\gamma\varepsilon_x [\mu\text{m}]$	293 ± 44.5	192 ± 22.4	126 ± 8.2	> 64.3
$\gamma\varepsilon_y [\mu\text{m}]$	1.84 ± 0.163	2.01 ± 0.363	1.5 ± 0.1	XY coupling at DR $=1.5/64.3$ $\leq 2.3 \pm 0.2\%$

水平Dispersionは半分以下になったが、まだ DRの倍ある。

DRのXY Couplingは2.3%以下と推定される。

- Emittance増大

0.7 [nC]	各wsによる測定値			SuperKEKB-LER からの要求値	
	Sector 3	Sector 5	BT- 0 arc	Phase-2	Phase-3
$\gamma\varepsilon_x [\mu\text{m}]$	126 ± 8.2	189 ± 64	386 ± 237	< 200	< 100
$\gamma\varepsilon_y [\mu\text{m}]$	1.5 ± 0.1	1.9 ± 0.3	7.0 ± 0.6	< 40	< 15

- 3～5セクターのエミッタス増大
 - Transverse Wake Fieldの問題。
 - Offset 軌道によるWake FieldのCancelを行う予定。
- BTのエミッタス増大
 - 要検討

全BT アークでDispersion補正

e+	<ηx> [m]		<ηy> [m]		Quadの Fudge Factor
	Before	After	Before	After	[%]
Correction					
LTR第1アーク	0.037	0.018	0.019	0.016	-3.3, -2.4
RTL第2アーク	0.079	0.019	0.0094	0.0077	-4.5
RTL第1アーク	1.05	0.09	0.02	0.01	-8.2
BTp第0アーク	0.27	0.02	0.01	0.03	-26~12.9
BTp第1アーク	0.037	0.047	0.126	0.102	2.5
Slope 1					2.5
BTp第2,3アーク					2.5
Slope 2					2.5
BTp第4アーク					2.5

BT-WSはここ

e-	<ηx> [m]		<ηy> [m]		Quadの Fudge Factor
	Before	After	Before	After	[%]
Correction					
Slope 1	0.13	0.11	0.05	0.01	1.0~5.9
BTe第0アーク	0.11	0.02	0.01	0.02	0~6.7
BTe第1アーク	0.102	0.038	0.029	0.036	2.37
BTe第2,3アーク	0.066	0.029	0.037	0.034	2.52
Slope 2	0.104	0.091	0.192	0.116	3.55
BTe第4アーク					2.17

入射点

BT-WSはここ

入射点

(3) SuperKEKBへの入射と今後

SuperKEKBへの入射、今後

- LER入射

- DRコミッショニングを行った。
- 2018年2月、入射(LTR)、DR、出射(RTL)共に順調に立ち上がり、7月までLERに入射した。
- 今後の課題
 - e+収量を上げる
 - DR内のエミッタنس(ビームサイズ)測定
 - 3セクターでのバンチ長測定
 - Phase3前にDR再立ち上げ時間が必要

- HER入射

- RF gun

- 6月17日～21日の約5日間、HERに入射した
- Energy spread等のStudyが必要（秋の運転時）
- Backgroundは小さい印象がある（by BCG）

- エミッタанс増大

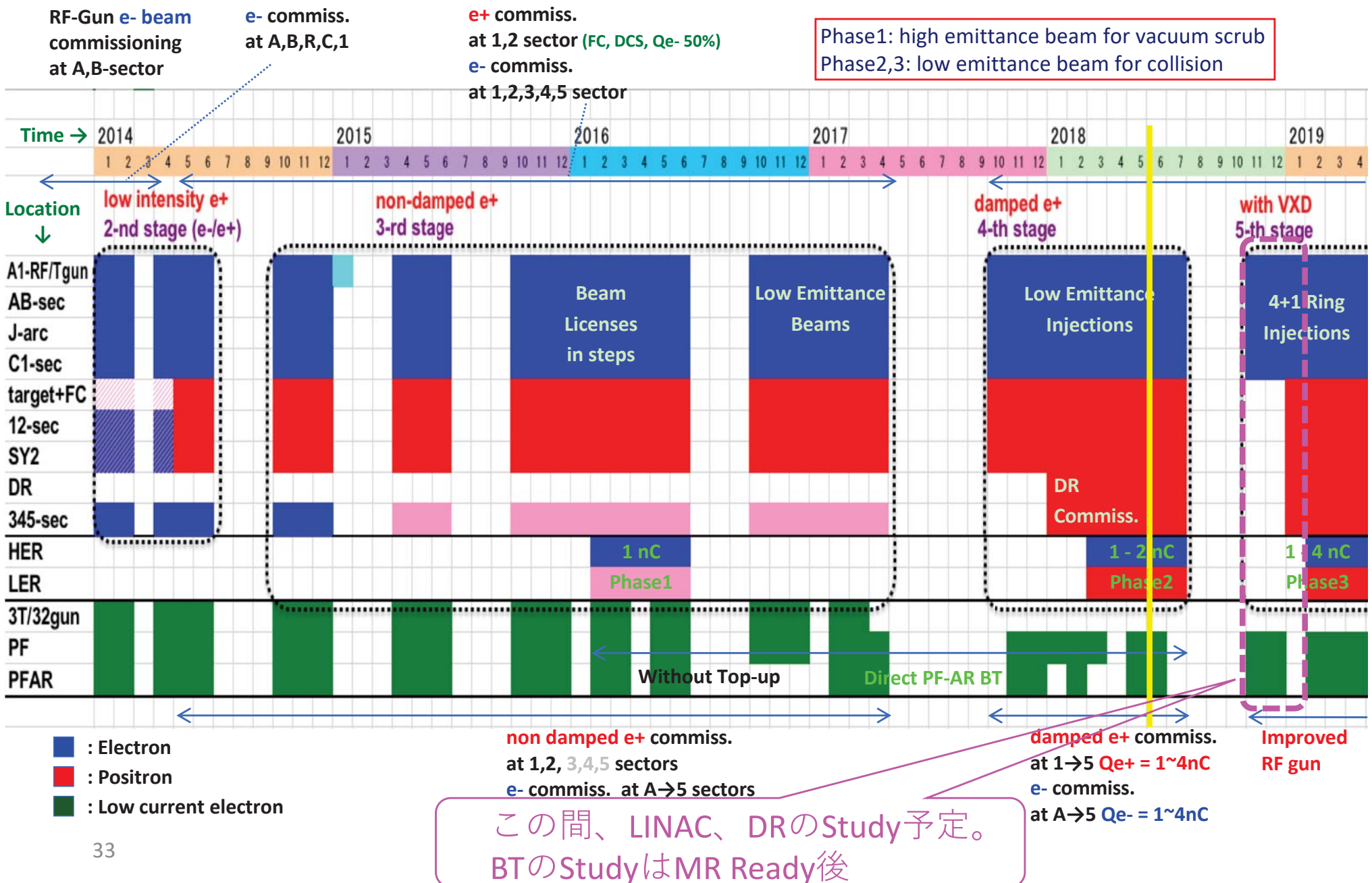
- LINAC内でWake場による増大 -> Offset injection Study等
- RTL、BTでのエミッタанс増大 -> 要調査

SuperKEKBへの入射、今後 (続き)

- 入射ビームの質が入射効率、Backgroundに効く
 - 入射効率、Background低下時にどうするか？
 - 入射ビームの質を常にモニターする必要がある
 - Energy, Energy spread, Optics, Orbit, ...
 - これらがずれた時にどう対処するか、要検討。
 - 運転中のビーム診断ラインの検討が必要。
 - 全ての入出射パルスマグネット
 - KEKB制御室で波形、タイミングをモニターできるようにしたい
 - 悪化時にパルスマグネットの異常かどうかを早めに判断したい
 - KLY ギャラリーの室温が影響する
 - (7月の運転は効率が悪かった。)

Linac Schedule Overview

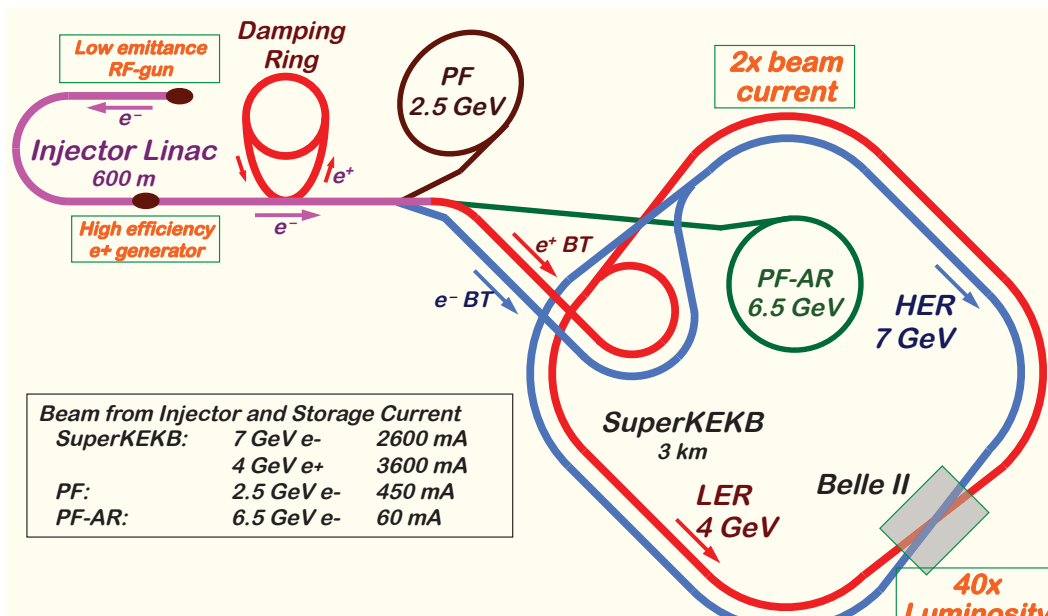
as of Mar(Jun).2018



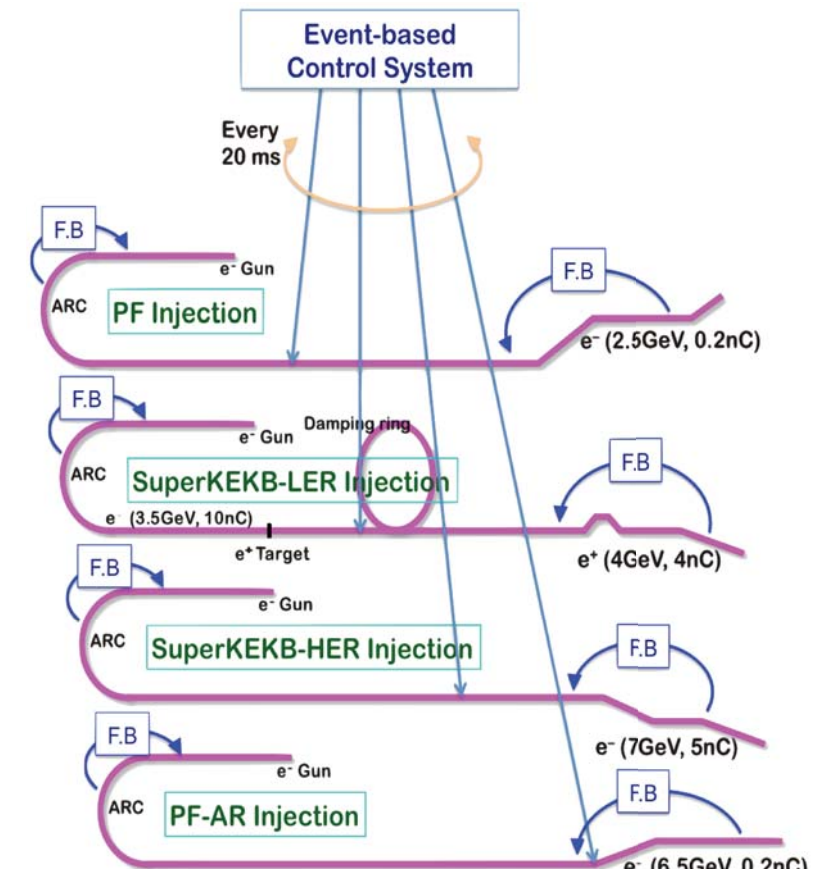
Back up

Mission of Electron/positron Injector in SuperKEKB

- For 40-times higher luminosity in SuperKEKB collider
- Low emittance & low energy spread injection beams with 4 times higher beam current**
 - New high-current photo-cathode RF gun
 - New positron capture section
 - Positron damping ring injection/extraction
 - Optimized beam optics and correction
 - Precise beam orbit control with long-baseline alignment
 - Simultaneous top-up injection to DR/HER/LER/PF/PFAR
- Balanced injection for the both photon science and elementary particle physics experiments

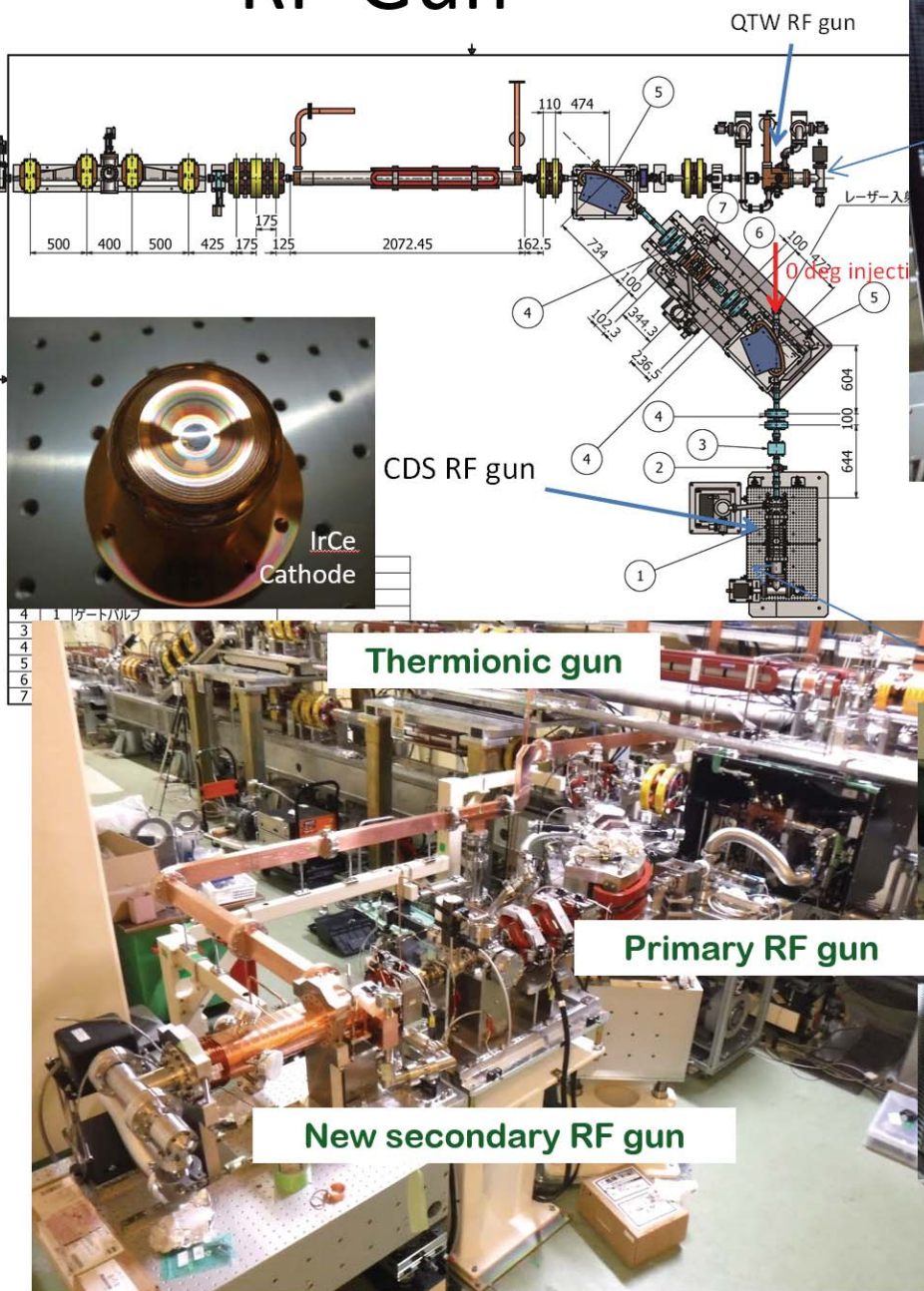


1 + 4 リング同時入射！

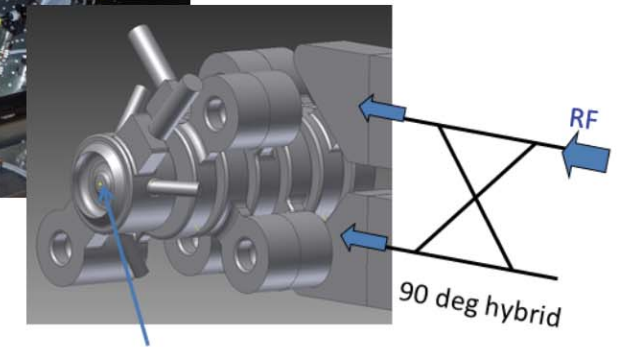
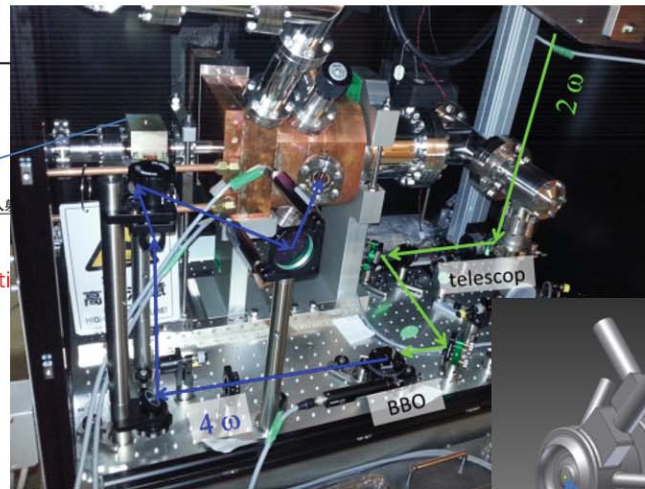


The single injector would behave as multiple injectors to multiple storage rings by the concept of virtual accelerator

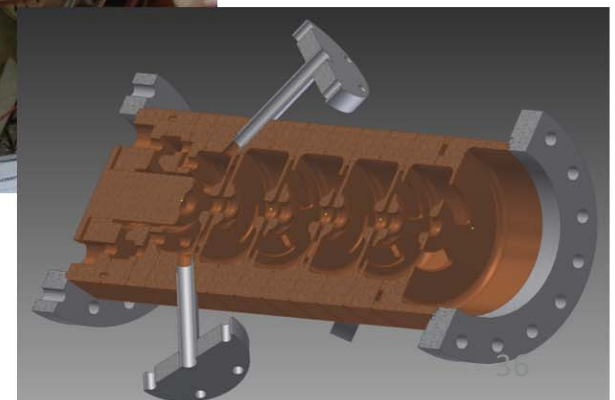
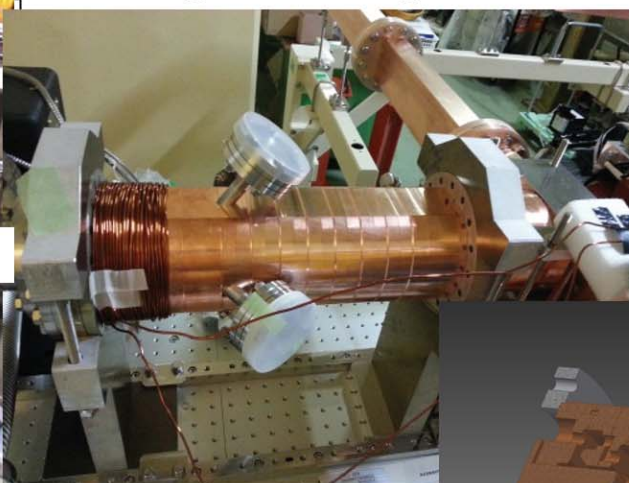
RF-Gun



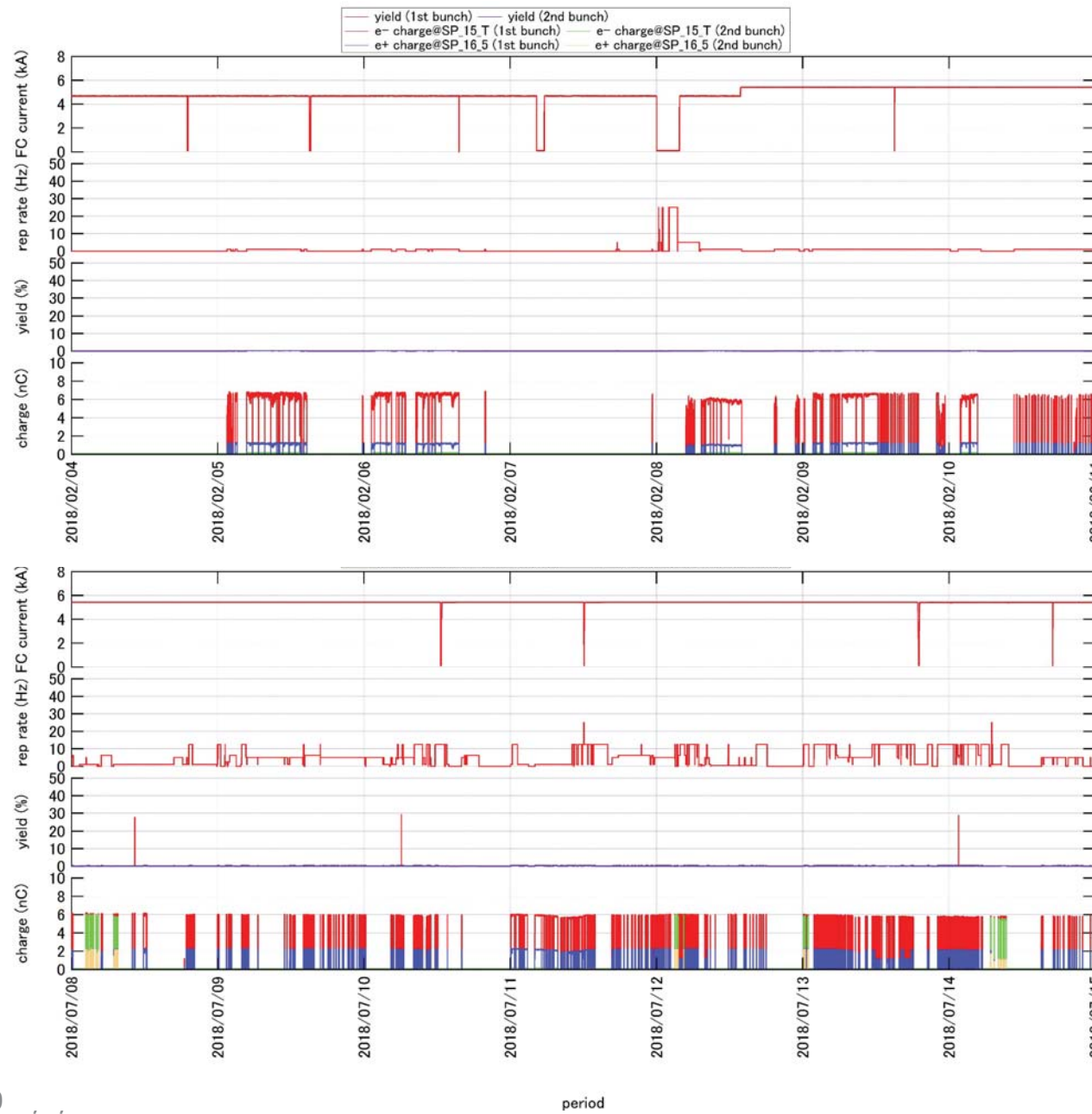
0-deg QTW RF gun (Quasi Traveling Wave)



90-deg CDS RF gun (Cut Disk Structure)



FC(続き)



Y. Enomoto

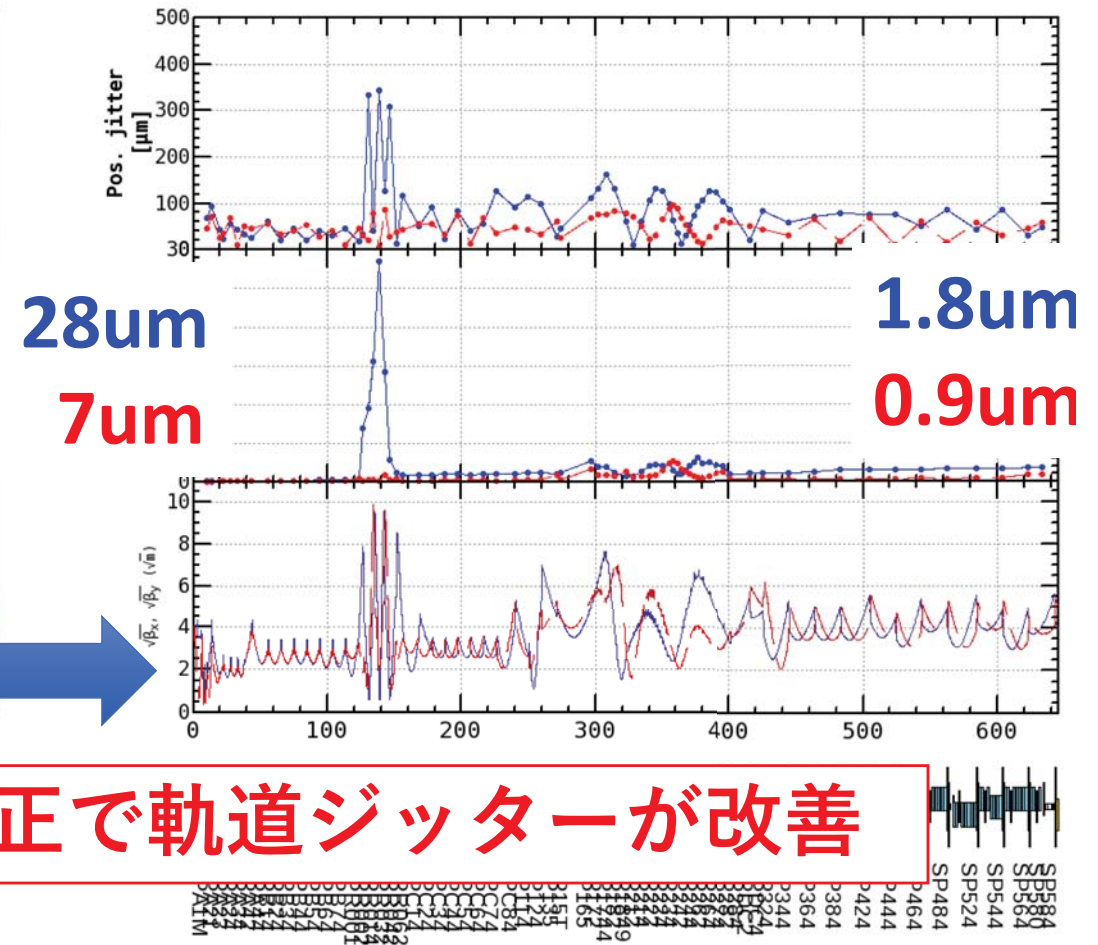
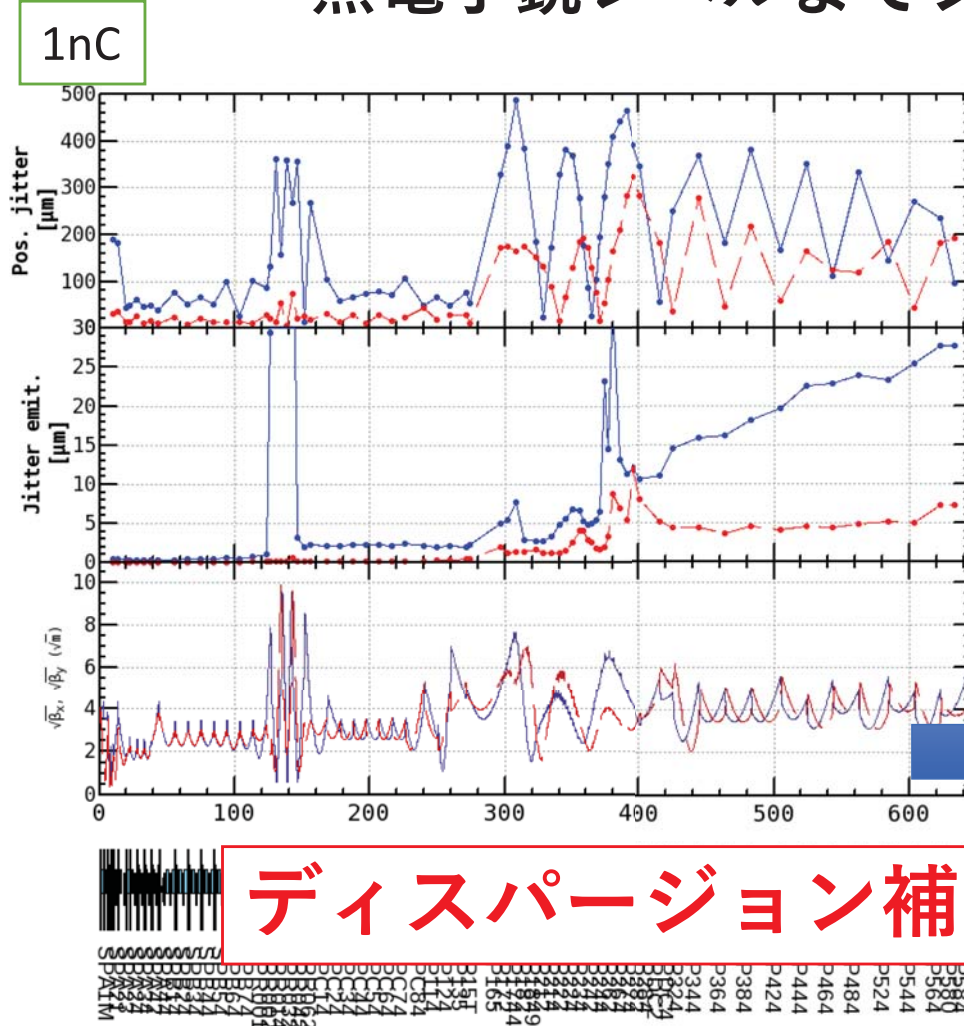
2月5～10日

赤(Primary e-)
に対する
青(e+)
が増えている

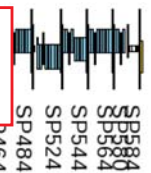
7月8～15日

Dispersion補正(RF電子銃)

- 熱電子銃レベルまでジッターエミッタンスが改善

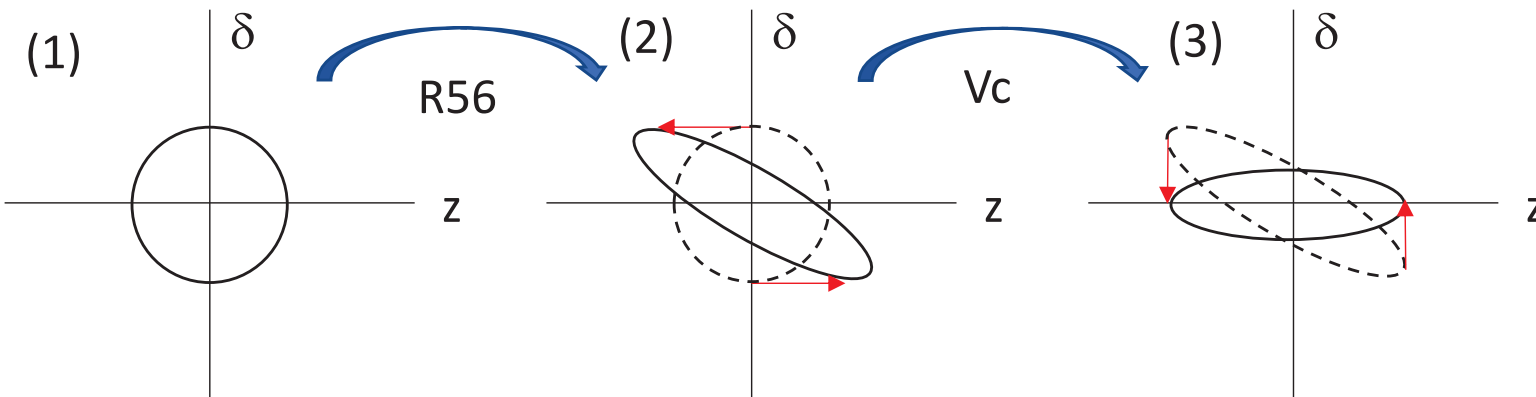


ディスページョン補正で軌道ジッターが改善

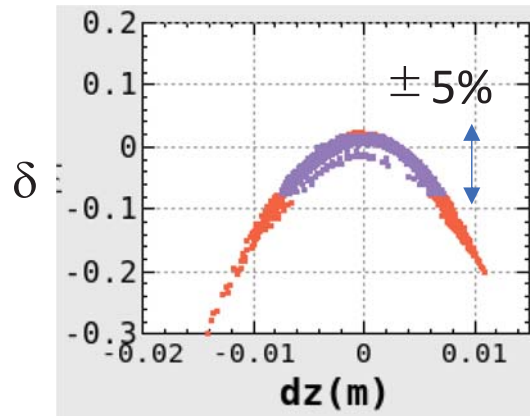


$$R56 = \delta/\sigma z$$

Energy Compression System(ECS)

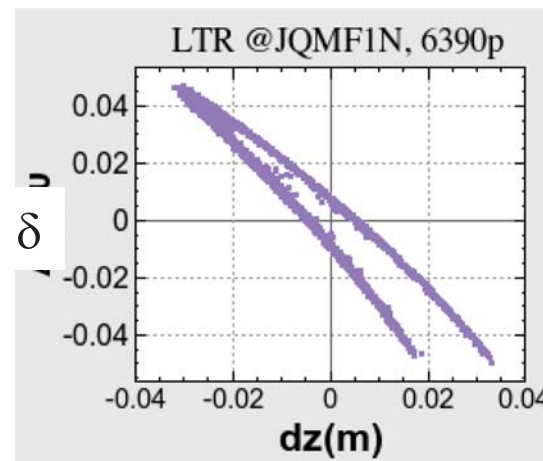


(1) LTR入口

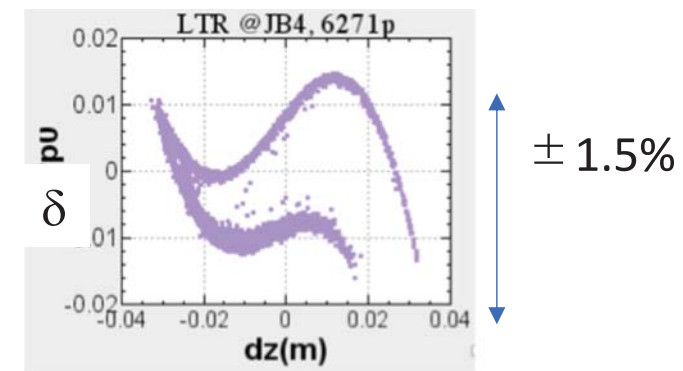


SY2のCollimatorで
予めLow Energy
Tailを切っておく

(2) 第1アーク出口



(3) 加速管出口



S-bandのSineカーブが
見えている

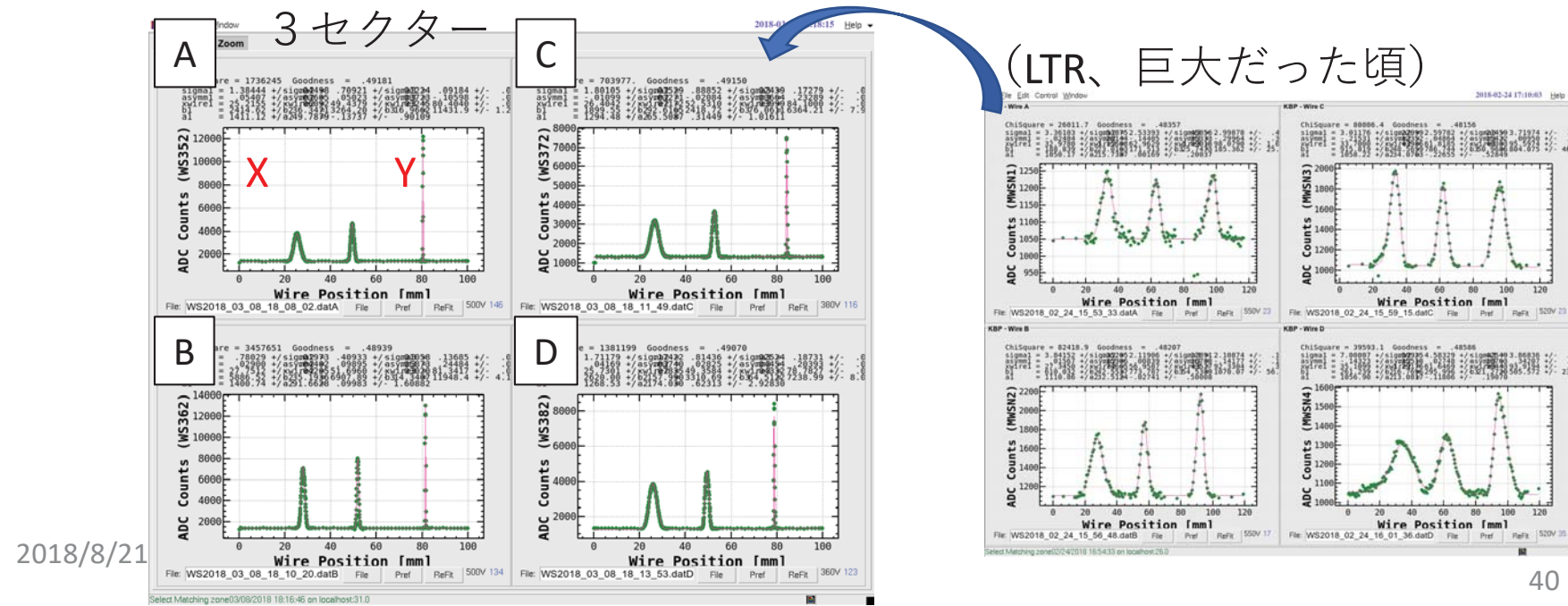
ビーム中心が加速電圧のゼロクロスの場所にあると、
重心が動かない

3セクターのワイヤースキヤナー(WS)で エミッタンスを測定

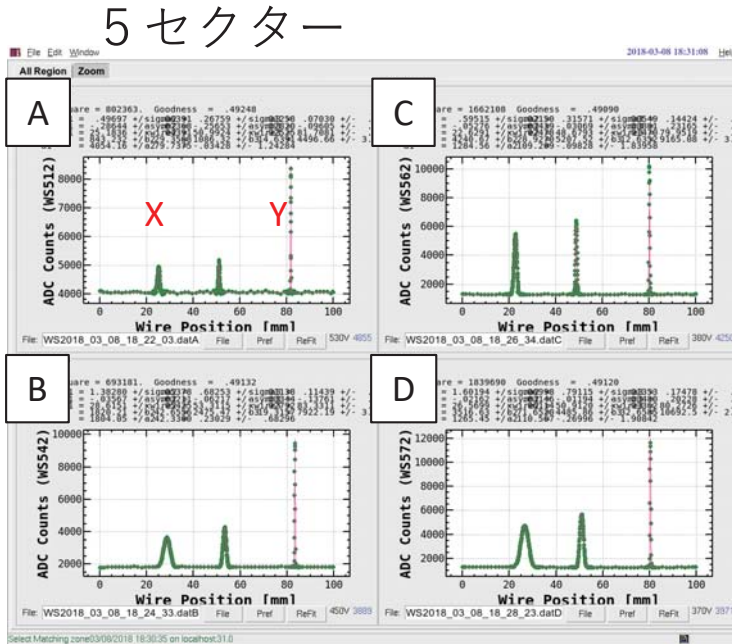
0.7 [nC]	Sector 3			DR(Optics Calculation)
	補正前	第2アーク 補正後	第1アーク 補正後	
$\gamma\epsilon_x$ [μm]	293 ± 44.5	192 ± 22.4	126 ± 8.2	> 64.3
$\gamma\epsilon_y$ [μm]	1.84 ± 0.163	2.01 ± 0.363	1.5 ± 0.1	XY coupling at DR = $1.5/64.3$ ≤ $2.3 \pm 0.2\%$

水平Dispersionは半分以下になったが、
まだ DRの倍ある。

DRのXY Couplingは2.3%以下と推定される。



5セクター,BTのワイヤースキャナー(WS)でエミッタنسを測定

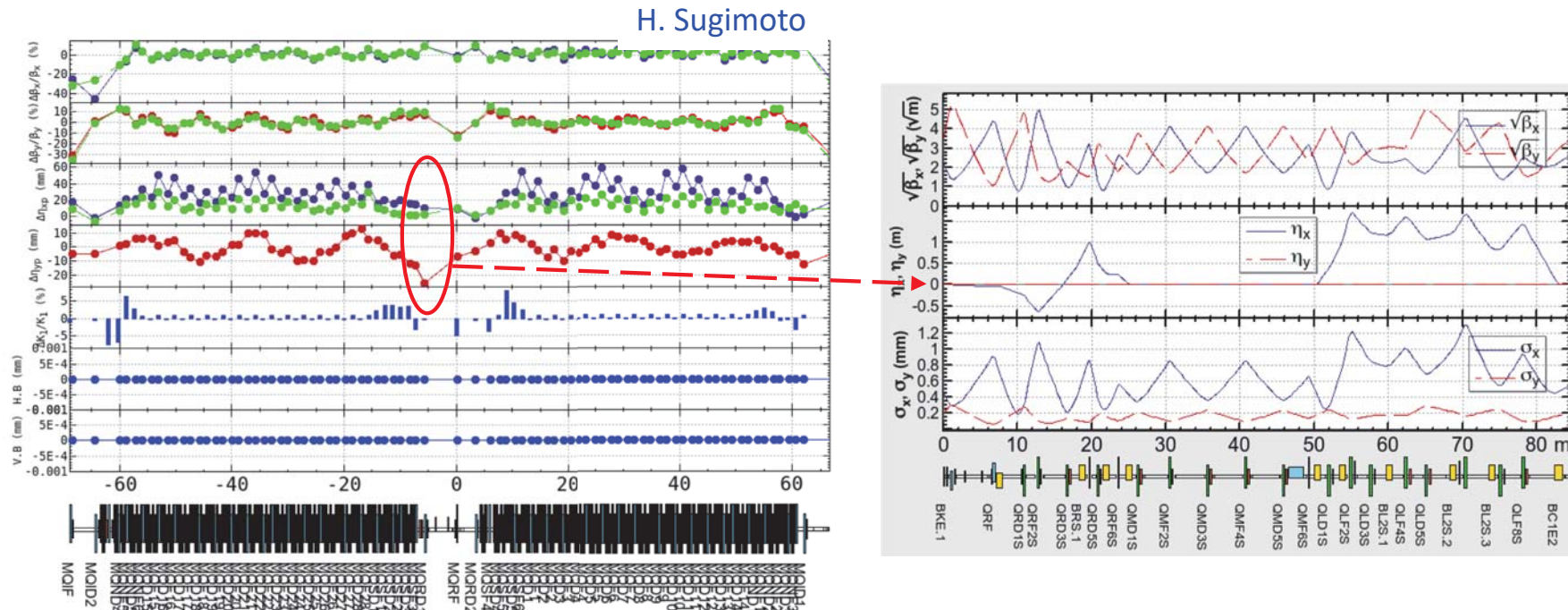


0.7 [nC]	wsによる測定値			SuperKEKB-LER からの要求値	
	Sector 3	Sector 5	BT- 0 arc	Phase-2	Phase-3
$\gamma\varepsilon_x$ (μm)	126 ± 8.2	189 ± 64	386 ± 237	< 200	< 100
$\gamma\varepsilon_y$ (μm)	1.5 ± 0.1	1.9 ± 0.3	7.0 ± 0.6	< 40	< 15

DR 設計	入射	出射
$\gamma\varepsilon_x$ (μm)	2800	64.3
$\gamma\varepsilon_y$ (μm)	2600	3.2
σ_z (mm)	$\pm 30^*$	6.6
σ_δ (%)	$\pm 1.5^*$	0.055

- 3～5セクターのエミッタنس増大
 - Transverse Wake Fieldの問題。
 - Offset 軌道によるWake FieldのCancelを行う予定。
- BTのエミッタنس増大
 - 要検討

DR内のDispersion測定値からの寄与



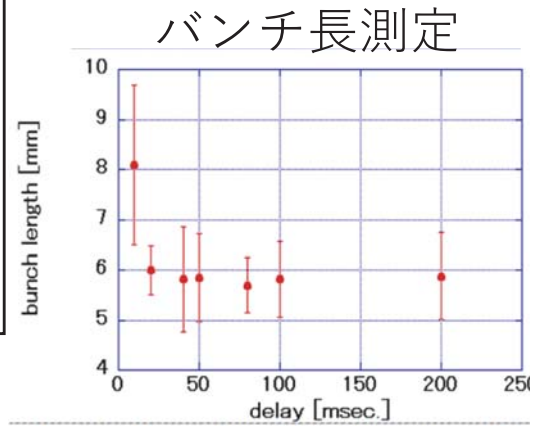
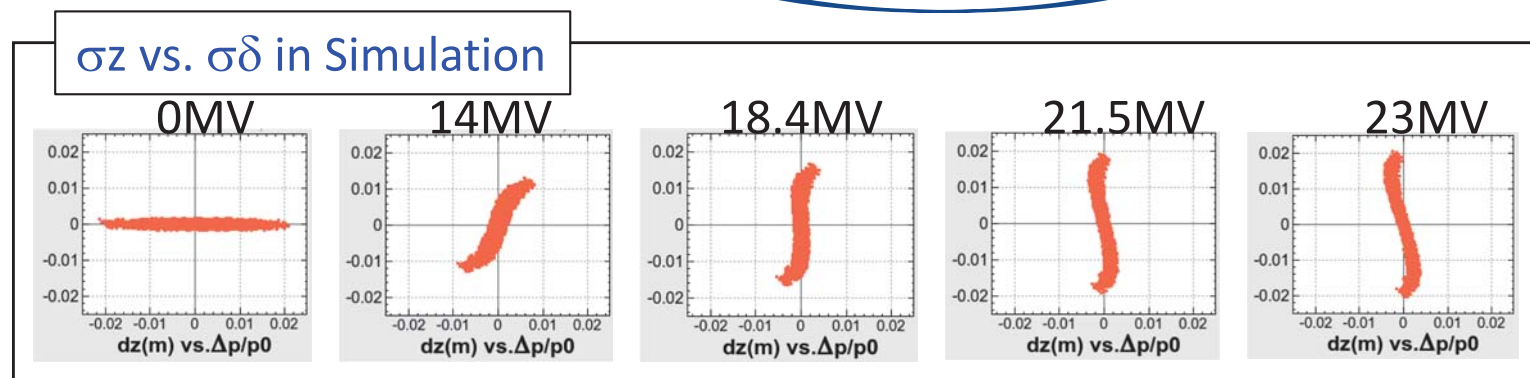
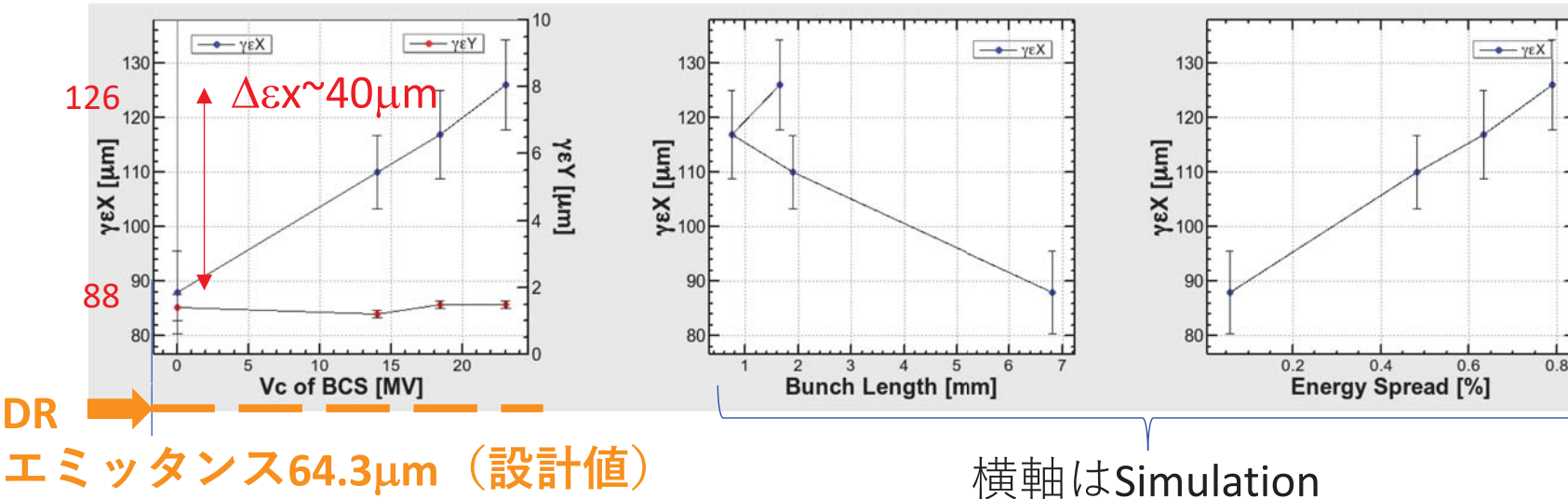
	$\mathcal{H} [\text{m}]$	δ	$\Delta\epsilon [\text{nm}]$	$\Delta\gamma\epsilon [\mu\text{m}]$	$\epsilon [\mu\text{m}]$	$\Delta\epsilon/\epsilon$
X	6.08e-5	5.5e-4	1.84e-2	0.04	64.3 (from DR Optics calculation)	6.2e-4
Y	4.49e-5		1.36e-2	0.03	1.9 (from WS measurement)	1.5e-2

DR出射点で測定された水平DispersionからRTLへのエミッタансの寄与は、
RTLでのエミッタансに対して無視できるほど小さい。

水平エミッタスのBCS-Vc依存測定

0.7nC 3セクターのWire Scanner測定

Y. Seimiya, M. Kikuchi, N. Iida



DRからのバンチ長は設計値 (6.6mm)とした。

2018/8/21

Figure 6: Measured bunch length after injection.⁴³

WEP084, H. Ikeda, 他

水平エミッタノスの電荷量依存測定

電荷量 (nC)	加速電圧(MV)	$\gamma\beta\varepsilon_x$ (μm)	$\gamma\beta\varepsilon_y$ (μm)
0.7	0	88 ± 7.6	1.4 ± 0.4
1.5	0	104 ± 7.4	3.7 ± 0.5

- 測定された水平エミッタノスについて

1. BCSのVc依存性がある。

- バンチ長 : Coherent Synchrotron Radiation(CSR) ? ?
- 3セクターでのバンチ長測定が必要
- エネルギー広がり : 水平分散の残留漏れ ?

2. 電荷量依存性がある。

- CSR ? ?
- 3セクターTransverse Wake ?
- DRのエミッタノス測定が必要

インスタビリティの概算

Handbook of Accelerator Physics and Engineering

CSR

$$\begin{aligned} Z_{\parallel}(k) &= \frac{1}{c} \int_0^{\infty} dz W_{\parallel}(z) e^{-ikz} \\ &= \frac{Z_0}{2\pi} \frac{e^{I\pi/6}}{3^{1/3}} \Gamma\left(\frac{2}{3}\right) \frac{k^{1/3}}{R^{2/3}} \end{aligned}$$

$$dE = Z(k)L^*I/E$$

$$d\delta x = (\eta x^* dE)^2 / \beta x$$

$$\Delta\gamma\delta x = \text{Sum} \sum d\delta x |i| = 0.81 \mu m < 40 \mu m$$

Z0=377
 R=3.35m
 sz=1~7mm
 L=0.7938m
 cc=1nC,
 E=1.1GeV
 I=cc/σz*c
 材質：SUS316L

Resistive wall

$$\begin{aligned} \frac{Z_m^{\parallel}}{L} &= \frac{\omega}{c} = \frac{Z_m^{\perp}}{L} \\ &= \frac{Z_0 c / (\pi b^{2m})}{[1 + sgn(\omega)i](1 + \delta_{m0})bc \sqrt{\frac{\sigma_c Z_{0c}}{2|\omega|} - \frac{ib^2\omega}{m+1} + \frac{imc^2}{\omega}}} \end{aligned}$$

$$\Delta\gamma\delta x = \text{Sum} \sum d\delta x |i| = 0.0012 \mu m << 40 \mu m$$

いずれも概算では影響は小さそうであるが、さらにCSRのTracking simulationを検討中
 2018/8/21 (D. Zhou and Y. Seimiya)⁴⁵

BT での Emittance 増大

KBp エミッタンス測定まとめ (FC-ON/OFF)

M. Kikuchi, T. Mori, N. Iida

■ H-plane

